

## 適応的手法による船舶の運動制御

著者	下高原 剛
学位授与機関	東京商船大学
学位授与年度	1990
URL	<a href="http://id.nii.ac.jp/1342/00000637/">http://id.nii.ac.jp/1342/00000637/</a>

# 学位論文

題目 適応的手法による船体の運動制御

指導教授 森下 敦吉

商船学研究科船舶制御専攻

平成  
昭和 3 年入学

氏名 下 高原 剛

平成  
昭和 3 年 1 月 31 日提出

適 応 的 手 法 に よ る  
船 舶 の 運 動 制 御

下 高 原   剛

---

# 目 次

始めに

## 1 船体のモデル設計 4

- . 1 汐路丸の運動（伝達関数等）について
  - . 1 Y a w－左旋回について  
(バウスラスタのみ使用)
  - . 2 Y a w－左旋回について  
(バウ＋スターンスラスタ使用)
  - . 3 バウスラスタについて
  - . 4 スターンスラスタについて
  - . 5 横移動について
  - . 6 縦移動について
- . 2 実際のプラントとモデル
  - . 1 Y a w－左旋回について  
(バウスラスタのみ使用)
  - . 2 Y a w－左旋回について  
(バウ＋スターンスラスタ使用)
  - . 3 バウスラスタについて
  - . 4 スターンスラスタについて
  - . 5 横移動について
  - . 6 縦移動について

## 2 使用したアルゴリズムの紹介 ————— 26

- . 1 適応制御の特徴
- . 2 適応制御の紹介

## 3 適応制御によるシミュレーション ————— 31

- . 1 補償器無しの場合
  - . 1 横移動（速度制御）について
  - . 2 Y a w－左旋回（角速度制御）について
  - . 3 縦方向移動（速度制御）について
- . 2 補償器を使用した場合
  - . 1 横移動（速度制御）について
  - . 2 Y a w－左旋回（角速度制御）について
  - . 3 縦方向（速度制御）について

## 4 実船実験 ————— 43

- . 1 実験準備
- . 2 実験結果

終わりに

参考文献

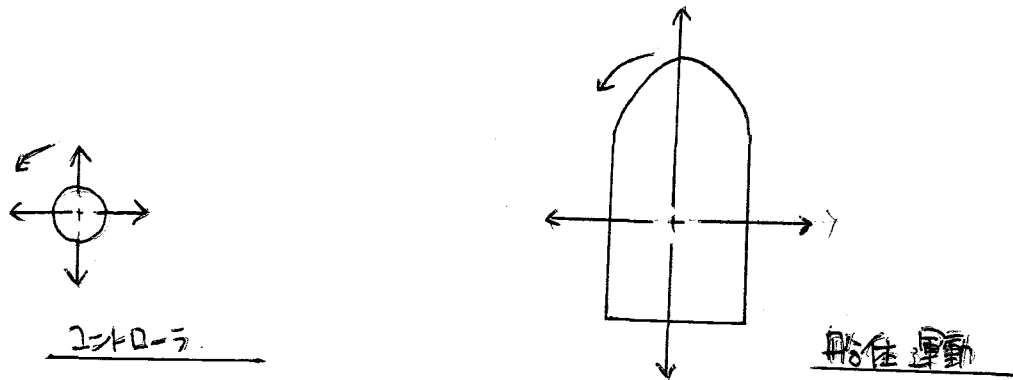
## 始めに

現在、船舶運行に対して省力化、高知能化の見地から、船舶自体の高度化が世界的に求められ、特に四方を海に囲まれた日本への期待は大きい。

船舶の運行に際し、運航員が神経を使っている事は多くあると思われる。その一つは、出入港時であろうが、現在の多くの船舶は色々高度な機器が備えられ、例えばサイドスラスタがあり、これを利用することによってサイドスラスタの登場する以前より出入港時の操船が楽になった感もある。しかし出入港時の苦労は、大変なものである事に代わりは無い。

その理由の一つにサイドスラスタと言う便利な機械はあるが、それを制御（この場合、肉眼による計測、調節、動かしている）のは人間であり、ただでさえ、省力化で乗組員一人当りの負担が増えている所へ神経を使う出入港の際、サイドスラスタ及びプロペラを人間がすべて制御し、何ら補助的な制御がなされて無いところにあると思われる。そこで、できるならサイドスラスタ（プロペラ）の推力を計算機で統合的に制御して操船者の負担を軽減することが考えられる。

その方法として色々なアプローチがあると思うが、サイドスラスタの推力をブリッジの中から計算機を介してコントロールする事を考察してみたい。



- 目的 1. サイドスラスタ及びプロペラの推力を計算機による補助的な制御をすることによって、速度（例えば到達させたい速度だけ入力する）船体の移動（例えば船体を動かしたい距離だけ入力する）を容易にし、かつ操船者の負担を軽減する。
- 目的 2. インターフェイスとして船体の速度、移動量などの入力に際し統合的なマン—マシンインターフェイスの優れた操船機構（例えばステイック状のコントローラ等）でコントロールを容易にすることによって、速度、船体の移動をスムーズに行い、かつ乗組員の負担を軽減する。
- 目的 3. 最終的には、サイドスラスタ及びプロペラの推力を高度に智能化されたメインコンピュータによって統合的に制御することにより入出港時等の船体の位置の微調節から、回頭時に至るまで幅広い船体の制御が可能となるようにする。



文献（１）を用いて簡単な伝達関数を求めることは、可能であるかもしれないが、船舶は自然界の中を移動する物であるので、常に文献（１）で求めた伝達関数である保証は無く、又低速時から高速時まで常に一定の伝達関数であるという保証も無い。

そのため今回は、伝達関数の不確かさや未確認な部分を考慮して、その伝達関数の弱点を補える制御方法であるところの適応制御の手法を試みた。

本文は、上記の目的を念頭において、その実現の可能性を探るため計算機で簡単なシミュレーションを行い実船実験の可能性を確認した後、実船実験によって実現の可能性を提言するものであり、その具体的な方法と主な結果を簡単にまとめたのもである。もしこの考え方が実船に応用できると、各方向へ船舶移動に対しての微調節が容易になり船舶の安全運行に貢献できるものと思われる。参考にした文献は、最後にまとめてある。

## 1 船体モデルの設計

試験航海時の汐路丸の排水量が 660.7 ton であることから、船の総重量を 660.7 ton 全長 49.93 m 全幅 10.0 m とする。（文献（1） 参照）

### 1. 1 汐路丸の運動（伝達関数等）について

ここでは、文献（1）を参考に運動力学的に汐路丸の運動を解析してみた。

#### 1. 1. 1 Y a w - 左旋回について（バウスラスターのみ使用）

Y a w - 右旋回は、潮流の影響を大きく受けていると思われるので、Y a w - 左旋回についてのみ取り扱ってみる。

文献（1）の旋回試験成績から表（1. 1）を求め、これを基にグラフ F i g - 1. 1 を作る。このグラフから加速度を求めると表（1. 2）のようになる。

抵抗係数を求めるため、

$$\text{運動方程式} \quad F \times L = I \times \ddot{\theta}(t) + F_r$$

（ $F_r$ ：抵抗  $I$ ：慣性モーメント  $L$ ：回転の中心と思われる点からスラスターまでの距離  $F$ ：スラスターからの推力）

を考えてみる.

まず表 ( 1 . 2 ) をグラフにして ( F i g - 1 . 2 )  
 $\ddot{\theta}(t) = 0$  となっている点を求めると, 8 Step 付近が考えられる.

即ち運動方程式は,  $F \times L = I \times \ddot{\theta}(t) + F_r = F_r$  とすることができる.

さらに船は高速で移動している訳でないので

抵抗  $F_r = C \times \dot{\theta}(t)^2$  とすることができる. 上述した  
 8 Step 付近では  $\dot{\theta}(t) = 0.0131$  (rad/s) とすることができるので運動方程式は,  $I = 64927.65$

$L = 17.5$  m  $F = 2.28$  ton (この実験で使った  
 ノッチでの平均推力) を代入すると

$$2.28 \times 17.5 = 39.9 = C \times \dot{\theta}(t)^2$$

$$\therefore C = 258224.85$$

又  $F(t) \times L = I \times \ddot{\theta}(t) + C \times \dot{\theta}(t)^2$  より

$$\ddot{\theta}(t) = \frac{F(t) - 14755.71 \times \dot{\theta}(t)^2}{3710.15}$$

となる. したがって入力としてバウスラスターからの推力を, 出力として角加速度を求める式が得られた.

1. 1. 2 Y a w - 左 旋 回 ( バウ + スター - スラスター  
 - 使用 ) について

“ 1. 1 Y a w - 左 旋 回 ” と 違 い , バウ スラスター 及

びスターンスラスターの両方を使用してみた。(これも右旋回は潮流の影響を大きく受けていると思われるので左旋回のみ見てみた。)

文献(1)の旋回試験成績から、移動した角度 表(1. 3)さらに角速度 表(1. 4)を求めグラフ Fig-1. 3 とする。これを基に角加速度をグラフ Fig-1. 4 とした。

ここでも抵抗係数を求めるため運動方程式

$$F_B \times l_B + F_S \times l_S = I \times \ddot{\theta}(t) + F_r$$

を考えてみる。ここで  $F_B$ : バウスラスターからの推力でノッチ10に於て2. 28 ton  $F_S$ : スターンスラスターからの推力でノッチ10に於て1. 56 ton  $l_B$ ,  $l_S$ は船中心から各々のスラスターまでの距離で各々 17. 5 m 18. 8 m  $F_r$ : 抵抗  $I$ : 慣性モーメント ( $I = 64927. 65$ ) とした。

Fig-1. 3, Fig-1. 4 から

$\dot{\theta}(t) = 0. 041$  (rad/s)付近で  $\ddot{\theta}(t) = 0$ と近似できるので、上述の運動方程式は  $F_B \times l_B + F_S \times l_S = F_r$  とできる。また  $F_r$ は、抵抗で  $F_r = C * \dot{\theta}(t)^2$  とした。各々運動方程式に代入した結果

$$\begin{aligned} \text{抵抗係数 } C &= (F_B l_B + F_S l_S) / \dot{\theta}(t)^2 \\ &= 41182. 63 \end{aligned}$$

$$\ddot{\theta}(t) = \frac{0.9 F_B(t) + F_S(t) - 2190.57 \dot{\theta}(t)^2}{3453.6}$$

となる。この様にして、入力としてバウ、スターン両スラスタからの推力を、出力として角加速度を求める式が求められた。

### 1. 1. 3 B a w - T h r u s t e r について

ここでバウスラスタの動特性について考えるが、その測定方法から船体の回転運動も含んだ動特性であると考えられるので参考程度でしかない。

微分方程式  $\ddot{F}(t) + 2\xi\omega_n\dot{F}(t) + \omega_n^2 F(t) = \omega_n^2$   
を考える。

文献 ( 1 ) から計って

行き過ぎ量:  $1.69 - 1 =$

$\exp(-\xi\pi / (1 - \xi^2)^{1/2})$

行き過ぎ時間:  $1.2(\text{sec}) =$

$\pi / (\omega_n (1 - \xi^2))$

と仮定すると上記の微分方程式は、

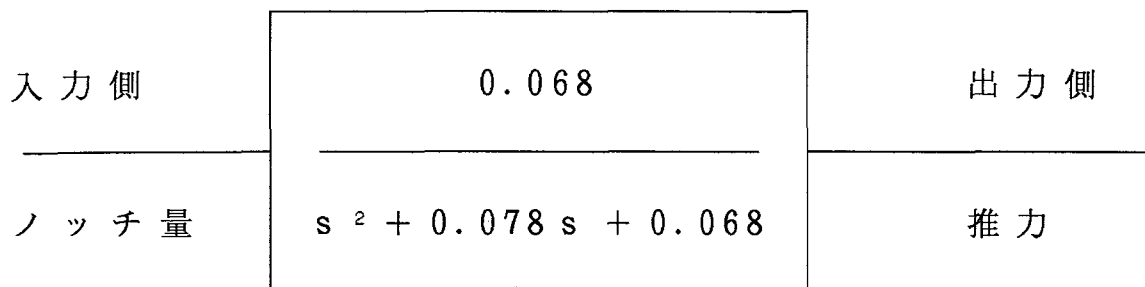
$$\ddot{F}(t) + 0.078\dot{F}(t) + 0.068F(t) = 0.068r(t)$$

となり、両辺ラプラス変換すると

$$s^2 F(s) + 0.078s F(s) + 0.068F(s) = 0.068r(s)s^{-1}$$

$$\therefore F(s) = \frac{0.068}{s^2 + 0.078s + 0.068} \times r(s)$$

このことから、バウスラスターの動特性に関して（バウスラスターの推力に関しては）は、



とした。

#### 1. 1. 4 Stern-Thruster について

次に、スターンスラスターの動特性について考えるが、“1. 3 Baw-Thruster について”と同様、その測定方法から船体の回転運動も含んだ動特性と考えられるので参考程度でしかない。

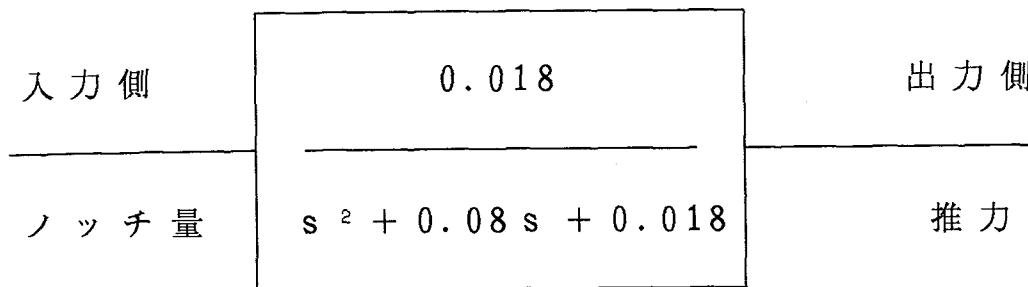
スターンスラスターの伝達関数は、バウスラスターの伝達関数を求めた方法で求め、その結果以下の様になった。

$$\begin{aligned} \ddot{F}(t) + 0.08 \dot{F}(t) + 0.018 F(t) \\ = 0.018 r(t) \end{aligned}$$

両辺ラプラス変換すると、

$$s^2 F(s) + 0.08 s F(s) + 0.018 F(s) = 0.018 r(s) s^{-1}$$

このことから，スターンスラスターの動特性に関して（推力に関して）以下の様になる．



#### 1. 1. 5 横移動について

文献（１）の横移動試験成績から，（パウ，スターン）スラスター各々のノッチを（９．１，１０．０）にした際のデータを参考に伝達関数を求める．

両スラスターの推力は各々（１．８６，１．６５）ton 計 ３．５１tonである．

次に，文献（１）を見ると左右に大きな違いがあり（これは，潮流が原因と思われる．）各々の方向で求められないので実験結果を平均して求めてみた．実験結果（平均値）からグラフ Fig-1. 5 を求め，このグラフから加速度を求めると Fig-1. 6 の様になる．

抵抗係数を求めるため

運動方程式  $F = M \times \ddot{X}(t) + F_r$  を考える.

ここで  $F$ : スラスターからの推力,  $M$ : 総重量,  $F_r$ : 抵抗とした.  $\ddot{X}(t) = 0$  では, 運動方程式は,

$F = F_r$  とできる. 又抵抗  $F_r$  は低速に於いては, 摩擦抵抗が 80% 以上を占めていると思われるので, 他の抵抗は無視して  $F_r = C \times \dot{X}(t)^2$  とした.

つまり  $3.51 = C \times 0.5^2$  となる.

$$\therefore C = 14.04$$

$$\therefore \ddot{X}(t) = \frac{F(t) - 14.04 \times \dot{X}(t)^2}{660.7}$$

以上の様にして, スラスターからの推力と加速度の関係式が求められた.

## 1. 1. 6 縦移動について

船舶の運動を次の様に仮定する.  $F = \dot{V} \times M + F_r$

(ここで  $F$ : 推力,  $M$ : 総重量  $V$ : 前方向への速度,  $F_r$ : 抵抗とした.)

ここでも抵抗は各種考えられるが, “1. 5 横移動”と同様に, 摩擦抵抗が 80% 以上を占めていると思われるので, これ以外の抵抗(空気, 渦, 造波等)は, 無視した.

文献(2)からフルードの式を使って抵抗係数  $C$  は,  $C = 16.501$  となり運動方程式は以下のようなになる.



$$F(t) = \dot{V}(t) \times 660 + C \times V(t)^{1.825}$$

$$\therefore \dot{V}(t) = \frac{F(t) - C \times v(t)^{1.825}}{660.7}$$

## 1. 2 実際のプラントとモデルプラント

汐路丸船体の運動方程式（伝達関数）は，実際の船体運動と多少異なると思われるので，これらを計算機上でモデルプラントの動特性として適する様に微調整して求めた運動方程式（伝達関数）を以下モデルプラントとして実船の運動特性とは異なる物として取り扱う．また汐路丸の実際の厳密な運動方程式は不明であるが，文献（1）にある各々のデータに近づける様に微調整して得られた運動方程式（伝達関数）を以下実プラントとする．

### 1. 2. 1 Y a w - 左旋回（バウスラスタのみ使用）について

これは，実プラントとモデルプラントを同じ物を使用した．

つまりモデルプラント，実プラント：

$$\ddot{\theta}(t) = \frac{F(t) - 61281.52 \dot{\theta}(t)^2}{32858.06}$$

とした．

# 1. 2. 2 Y a w - 左 旋 回 ( バ ウ + ス タ ー ン ス ラ ス タ 使 用 ) に つ い て

こ れ は 計 算 機 上 で 微 調 整 を 繰 り 返 す こ と に よ っ て , モ  
デ ル プ ラ ン ト は ,

$$\ddot{\theta}(t) = \frac{R - 150 \times \dot{\theta}(t)}{3165.65} \quad R : \text{目 標 角 速 度 (rad/s)}$$

実 プ ラ ン ト を

$$\ddot{\theta}(t) = \frac{F_s + F_B - 2190.57 \times \dot{\theta}(t)^2}{3165.65}$$

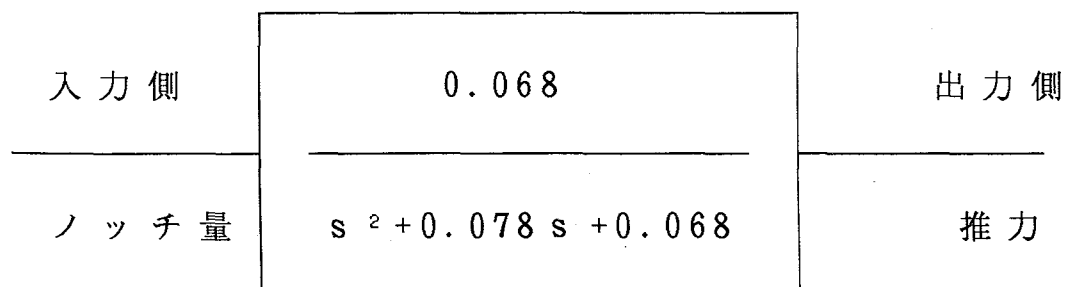
$F_s$  : ス タ ー ン ス ラ ス タ か ら の 推 力 (ton)

$F_B$  : バ ウ ス ラ ス タ か ら の 推 力 (ton)

と し た .

## 1. 2. 3 バ ウ ス ラ ス タ に つ い て

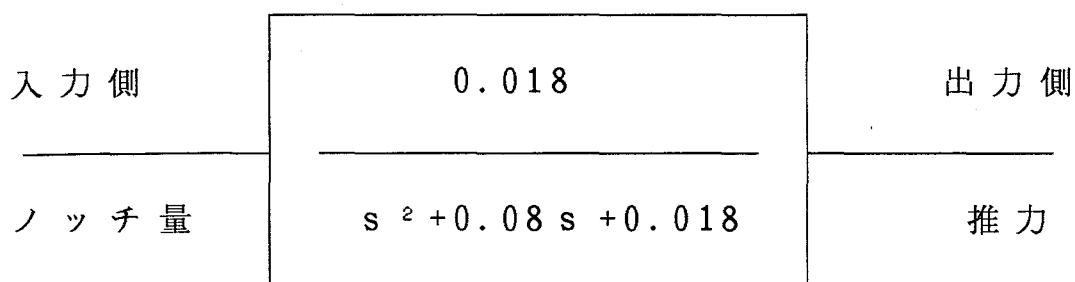
こ れ は , モ デ ル プ ラ ン ト と 実 プ ラ ン ト を 同 じ 物 と し て



とした。

# 1. 2. 4 スターンスラスタについて

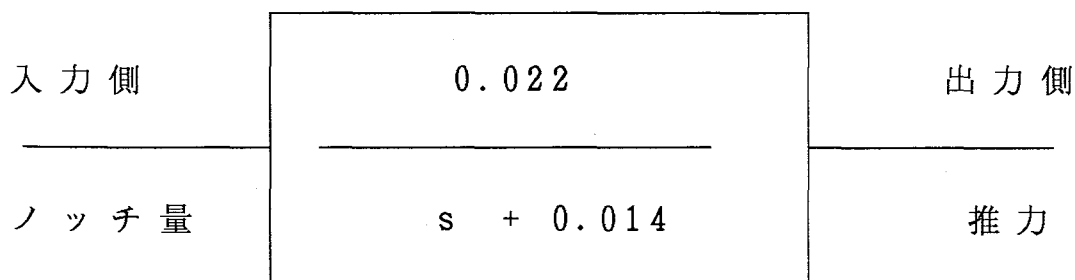
これも，モデルプラントと実プラントを同じ物として



とした。

# 1. 2. 5 横移動について

これも計算機上で微調整を繰り返すことにより，  
モデルプラント：



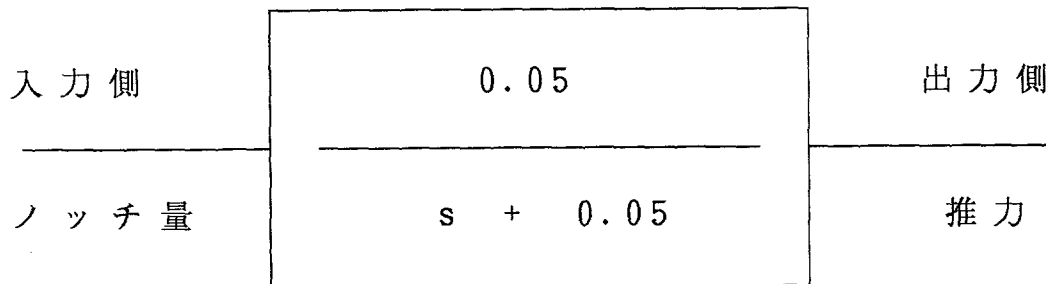
とした。

モデルプラントは，減衰項が1次であるのに対し，実船は2次であると思われるのでさらに微調整を繰り返すことによって，

実プラント： $\ddot{X}(t) + 0.012 \dot{X}(t)^2 = 0.005$   
とした。

### 1. 2. 6 縦移動について

これも計算機上で微調整を繰り返すことにより，  
モデルプラント：



として，実プラント：

$$\ddot{Y}(t) = \frac{F(t) - C \dot{Y}(t)}{660.7}$$

とした。

(C：前出の抵抗係数 F：プロペラからの推力)

\* 注 意 \*

文 献 ( 1 ) にあるデータ上で

横 移 動 に つ い て は ,  $X$  方 向

縦 移 動 に つ い て は ,  $y$  方 向    その速度を,  $V$

と した .

旋 回 に つ い て は ,    船 首 の 左 回 転 を  $\theta$  と した .

deg	角度差 $\theta$ (deg)	角速度 $\dot{\theta}$ (rad/s)
0.0		
	10.0	0.022
10.0		
	11.0	0.024
21.0		
	14.0	0.031
35.0		
	5.0	0.011
40.0		
	6.0	0.013
46.0		
	8.0	0.013
54.0		
	6.0	0.013
60.0		
	6.0	0.013
66.0		
	6.0	0.013
72.0		
	6.0	0.013
78.0		
	10.0	0.022
88.0		
	10.0	0.022
98.0		
	2.0	0.0044
100.0		
	4.0	0.0087
104.0		
	5.0	0.011
109.0		
	4.0	0.0087
113.0		
	3.0	0.0065
116.0		
	2.0	0.250
118.0		

表 (1. 1)

step	角加速度 (rad/s)
0 ~ 0.5	0.0028
0.5 ~ 1.0	0.0003
1.0 ~ 1.5	0.0003
1.5 ~ 2.0	0.0009
2.0 ~ 2.5	0.0009
2.5 ~ 3.0	-0.0025
3.0 ~ 3.5	-0.0003
3.5 ~ 4.0	0.0003
4.0 ~ 4.5	0.0025
4.5 ~ 5.0	0.0
5.0 ~ 5.5	0.0
5.5 ~ 6.0	0.0
6.0 ~ 6.5	0.0
6.5 ~ 7.0	0.0
7.0 ~ 7.5	0.0
7.5 ~ 8.0	0.0
8.0 ~ 8.5	0.0
8.5 ~ 9.0	0.0
9.0 ~ 9.5	0.0

17

9.5 ~ 10.0	0.0011
10.0 ~ 10.5	0.0011
10.5 ~ 11.0	0.0
11.0 ~ 11.5	0.0
11.5 ~ 12.0	-0.0022
12.0 ~ 12.5	-0.0022
12.5 ~ 13.0	0.0006
13.0 ~ 13.5	0.0005
13.5 ~ 14.0	-0.0003
14.0 ~ 14.5	-0.0003
14.5 ~ 15.0	-0.0003
15.0 ~ 15.5	-0.0003
15.5 ~ 16.0	0.0003
16.0 ~ 16.5	0.0003
16.5 ~ 17.0	-0.0003
17.0 ~ 17.5	-0.0003

表 (1. 2)

step	角度(rad)
0	0
1	0. 0 5
2	0. 2 3
3	0. 5 1
4	0. 8 4
5	1. 1 3
6	1. 5 7
7	1. 9 0
8	2. 1 6
9	2. 5 8
1 0	2. 7 9
1 1	3. 1 4

表 ( 1 . 3 )



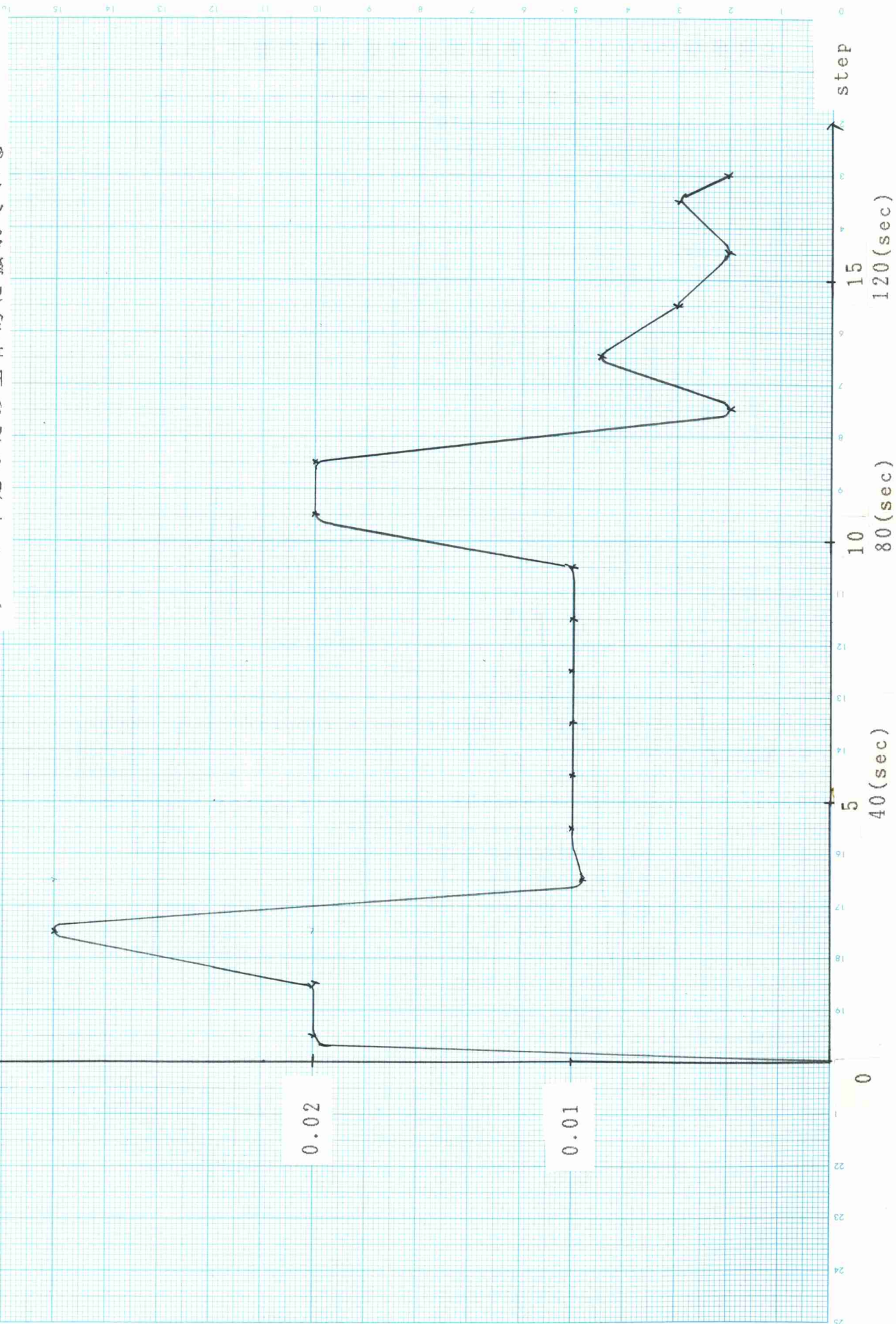
step	角速度(rad/s)
0	0.0063
1	0.0225
2	0.0350
3	0.0410
4	0.0360
5	0.0550
6	0.0410
7	0.0330
8	0.0530
9	0.0260
10	0.0440
11	

表 ( 1 . 4 )

旋回角速度  $\dot{\phi}$  (rad/s)

Fig-1.1 Yaw-左旋回時の旋回角速度 (ハウススタのみ使用)

データー不足のため全体的に振れている





F I g - 1 . 2      Yaw-左旋回時の旋回角加速度（ハウスラスタのみ使用）

データ不足のため全体的に振れている

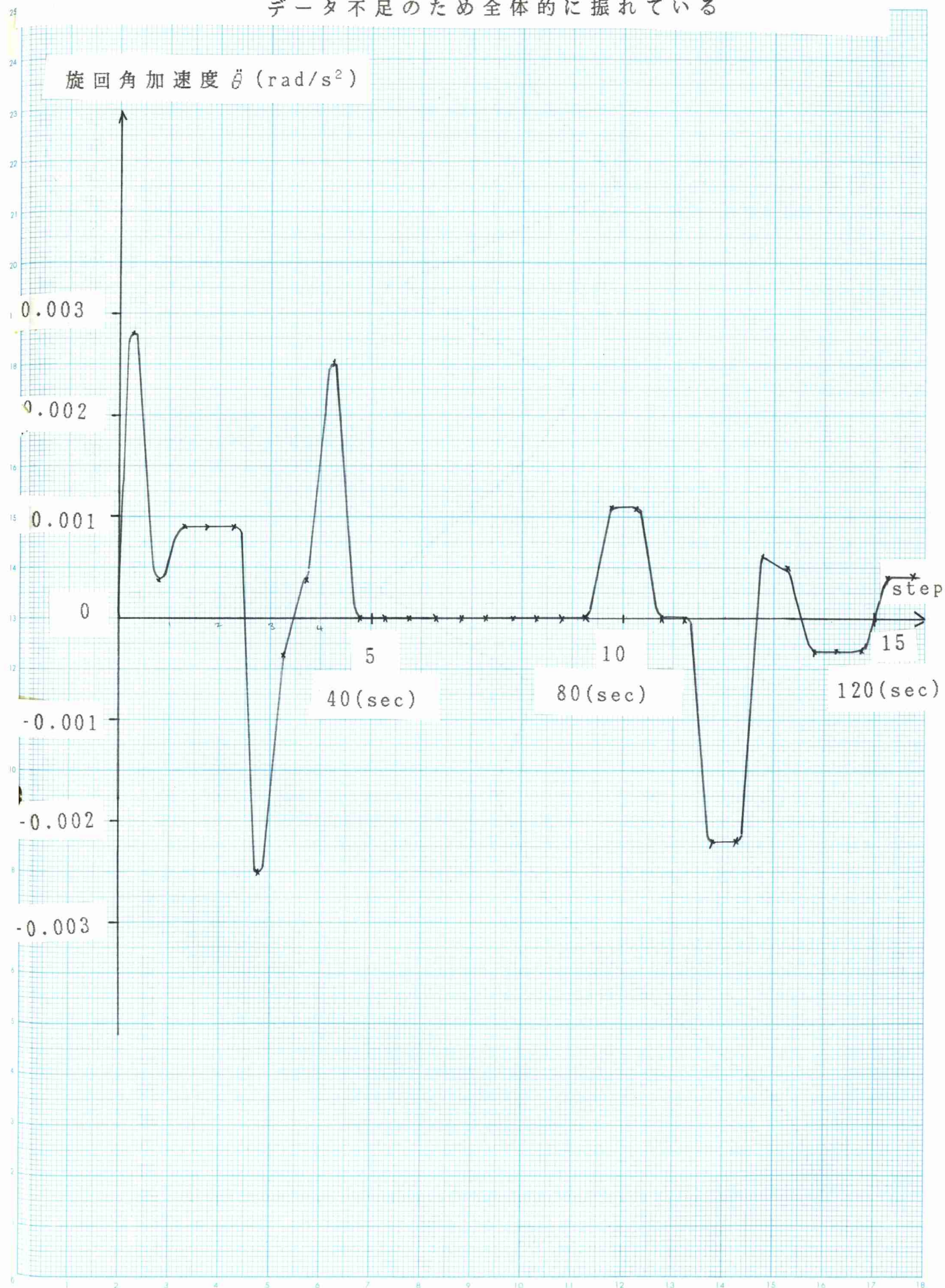


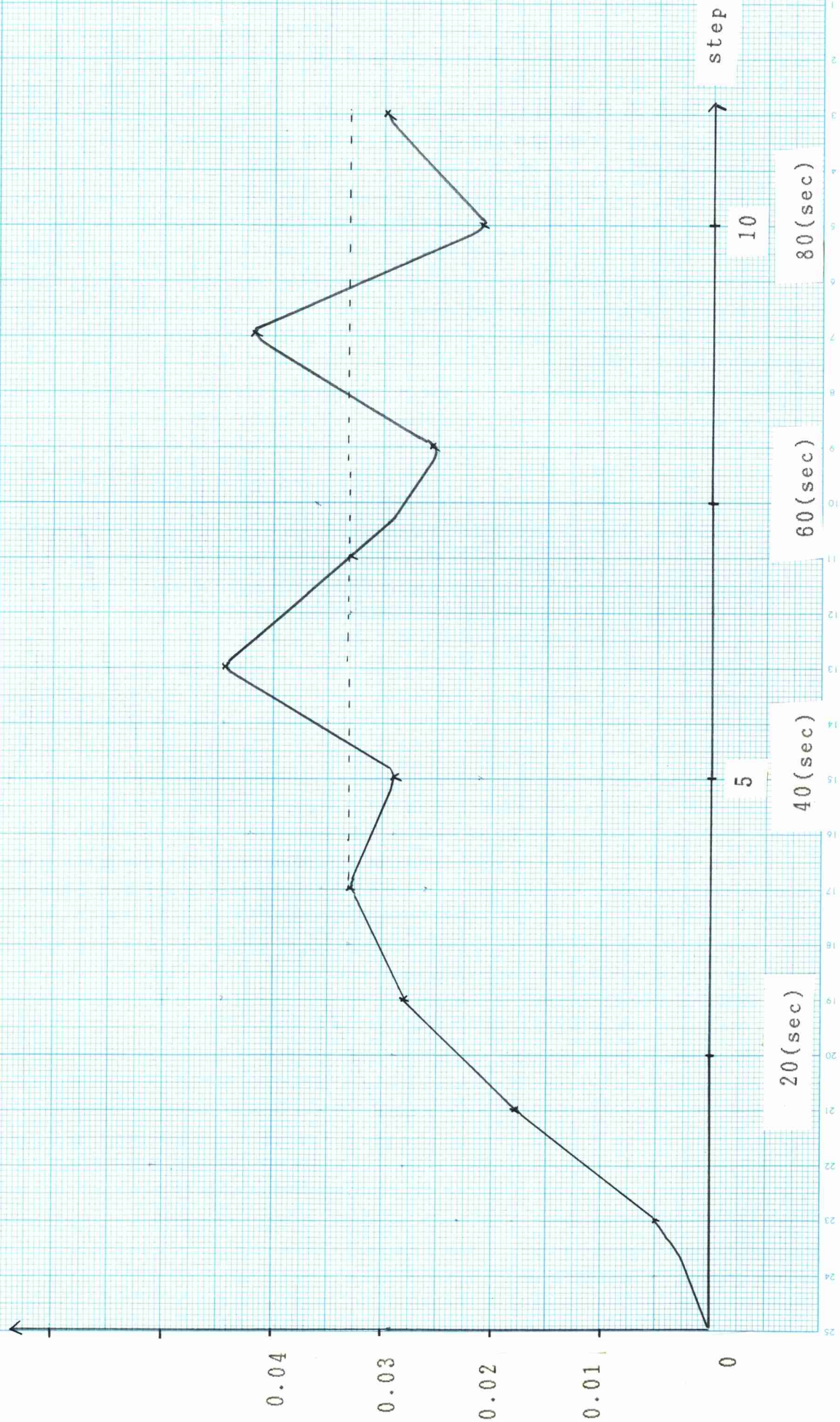


Fig-1. 3 Yaw-左旋回時の旋回角速度 (ハブリ, スターン両スラスター使用)

3.5 step 以後のデータのタにばらつきがあるので

平均して ----- とした。

旋回角速度  $\dot{\theta}$  (rad/s)

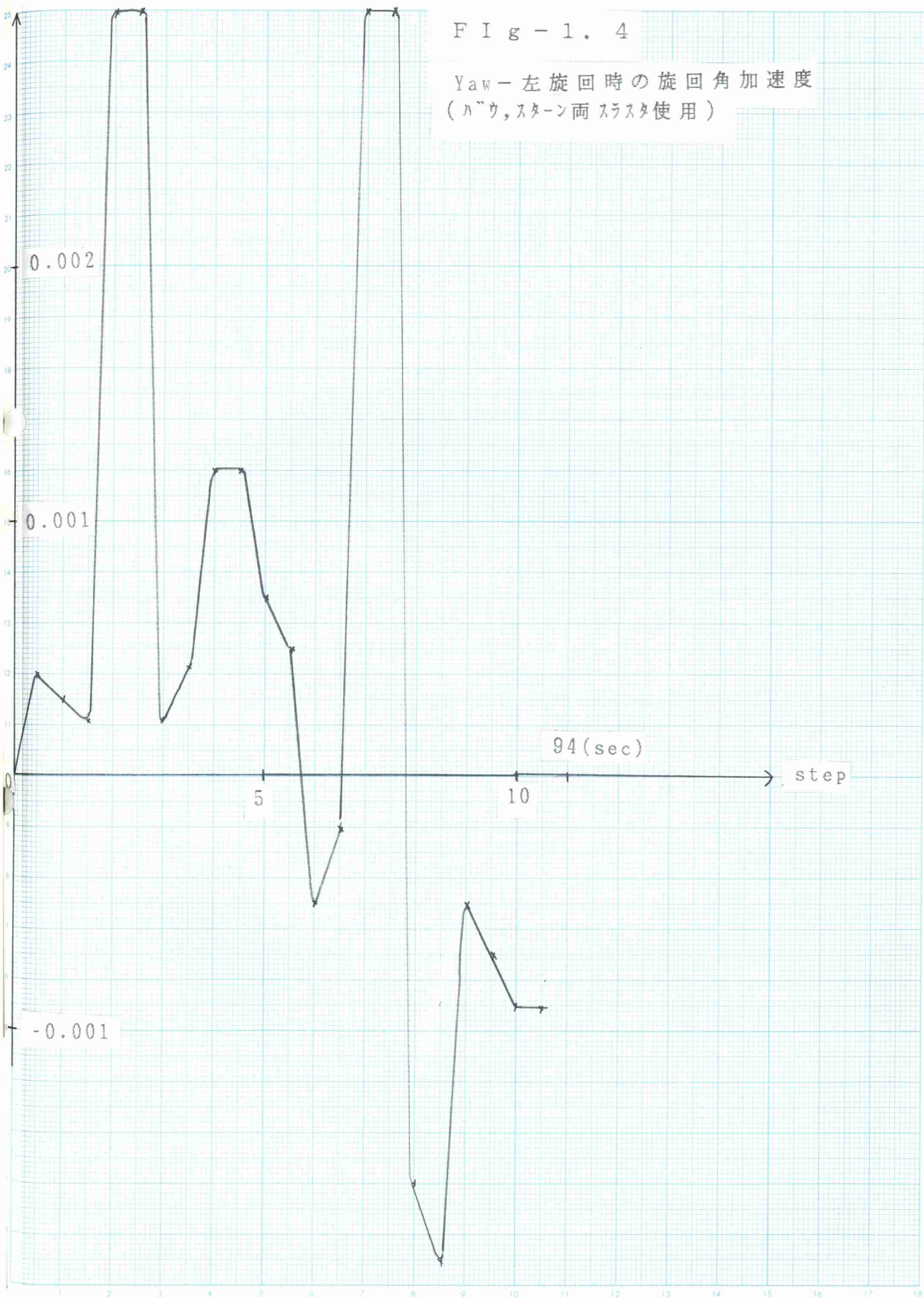




旋回角加速度  $\ddot{\theta}$  (rad/s<sup>2</sup>)

Fig - 1. 4

Yaw-左旋回時の旋回角加速度  
(ハウ, スターン両スラスタ使用)





速度 (m/s)

1.0

0.5

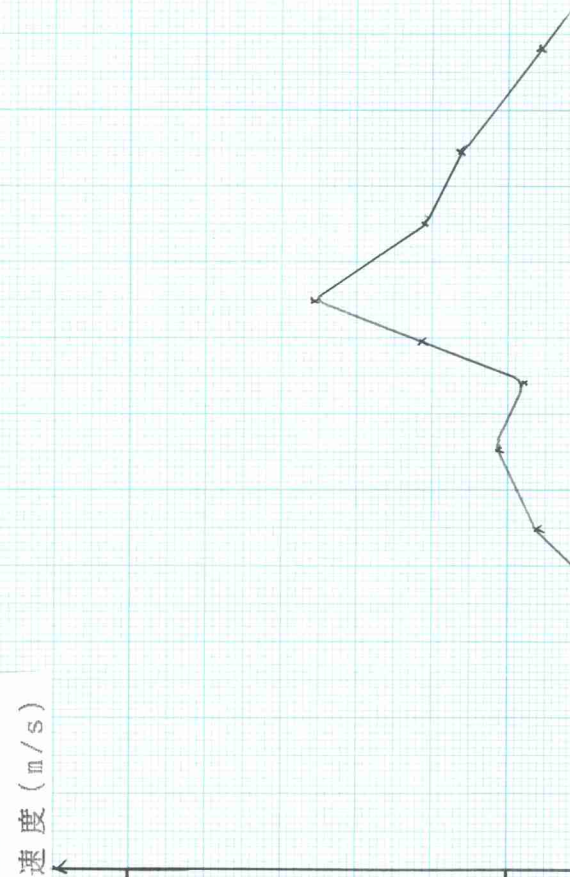
0

step

11

94(sec)

FIG-1.5 横方向移動速度 (ハ"ウ, スターン面 スラスタ使用)



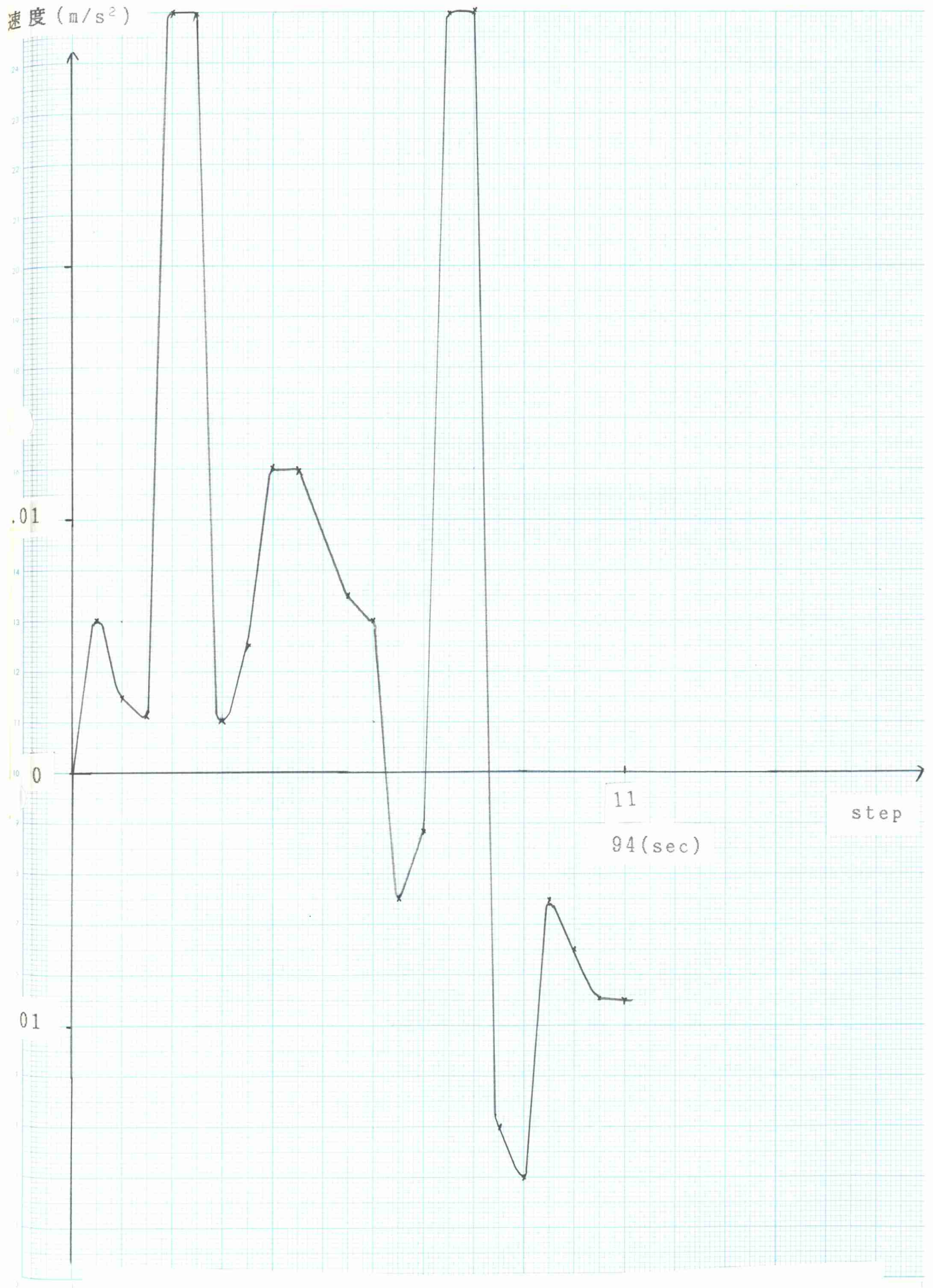


Fig - 1. 6 横方向移動加速度 (ハーク, スターン両スラスター使用)

## 2 制御アルゴリズム

### 2. 1 適応制御の特徴

前述（始めに）の様に，適応的手法によって船舶の運動制御を試みるが，その中でも今回は，モデル規範型適応制御（M R A C）システムと呼ばれるものを考えてみた．このモデル規範型適応制御システムとは，プラント出力が基準となるモデルの動作に追従する様に，プラントに対する適応アルゴリズムを構成し通常のフィードバックゲイン制御より，高度な制御成績を達成させようと言うものである．その特徴としては，

その 1 ) 大きく外乱を受けるシステムや制御中に大きなパラメータ変動を生じるシステムの制御に用いると，それらの外乱及びパラメータ変動による制御成績への悪影響は排除され，プラント出力がモデルの理想的な出力に追従してくれる．

その 2 ) プラントの未知パラメータを通常のフィードバック制御の様に様々な方法を測定する必要が無い．つまりプラントのパラメータ測定と制御を同時に行える．

等と言う事が上げられる．

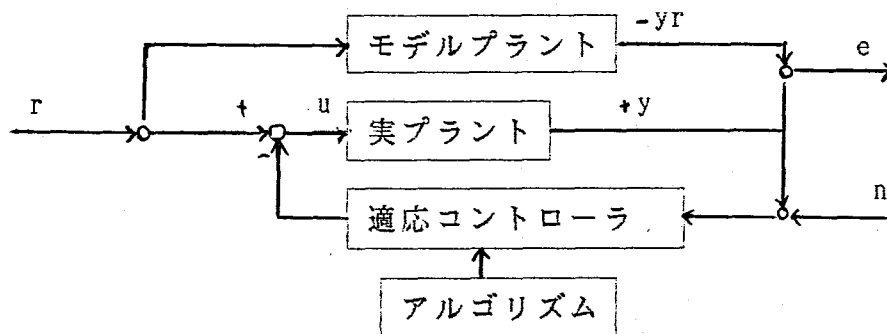


この考え方は，1950年代末に登場し，1980年代までに理想的な場合の理論的基礎は，ほぼ確立した。

## 2. 2 適応制御アルゴリズムの紹介

Fig 2-1 の MRAC システムを考える。

ここで適応コントローラは， $u = \hat{\theta}^T(t) Z$  とするが，上図のシステムを構成するに際し， $\hat{\theta}$  を生成する適応アルゴリズムを選択しなければならない。そこで典型的な (1) のアルゴリズムを考えてみる。



$u$  : 制御入力  $u = \hat{\theta}^T(t) Z$

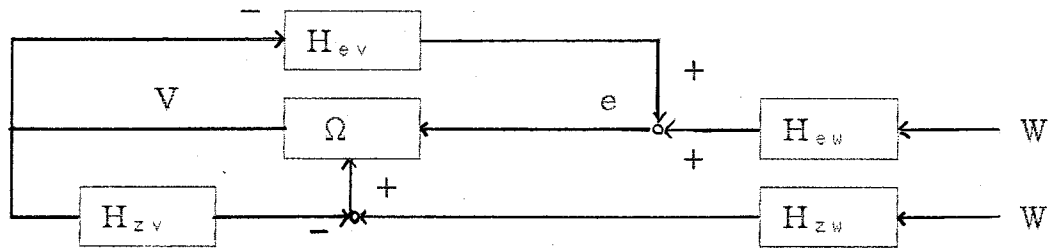
$\hat{\theta}^T$  : 適応ゲインベクトル  $\hat{\theta}^T = [\theta_1, \theta_2]$

Fig 2-1 MRAC system の基本構成

$$\frac{d \hat{\theta}}{d t} = \Gamma Z e \quad (1)$$

$Z$  : Regressor signal  $Z^T = [-y, r]$

この ( F i g 2 - 1 ) M R A C システムに対応する Adaptive error system は, 下図 ( F i g 2 - 2 ) の様になる.



$V$ : adaptive control error  $V = Z^T \theta$

$w$ : 目標値  $r$  外乱  $d$  観測ノイズ  $n$  からなる外部信号

$w(t) = (r^T, d^T, n^T)^T$

F i g 2 - 2 Adaptive error system

まず adaptive control error を次のように定義する.  
 $\theta(t) = \hat{\theta}(t) - \theta^*$  ここで  $\theta^*$  は, Tuned gain (制御が完了した時点で想像される適応ゲイン) と呼ばれる定ベクトルである.

この式から, 適応制御信号  $V = Z^T \theta$  を使い,  
 $u = Z^T \theta^* - V$  となり

Interconnection system は, 次の様になる.

$$\begin{bmatrix} e \\ Z \end{bmatrix} = \begin{bmatrix} H_{ew} & -H_{ev} \\ H_{zw} & -H_{zv} \end{bmatrix} \begin{bmatrix} W \\ V \end{bmatrix} \quad (2)$$

上式の構造の特徴は， adaptive control error  $V$  をシステムの残りの部分から切り離すところにある． 適応制御が完了すれば，  $\theta = 0$  かつ  $V = 0$  となる． この場合の Tuned regressor signal は， 各々  $e = H_{e_w} W$  ,  $Z = H_{z_w} W$  となる． つまり adaptive error system の型では， 次の様になる．

$$\theta(t) = \hat{\theta}(t) - \theta^*(t)$$

$$u(t) = Z^T \theta + V$$

$$e = e^* - H_{e_v} V$$

$$Z = Z^* - H_{z_v} V$$

M R A C システムが大域的安定となるためには，  $H_{e_v} \in S P R$  (強制実) でなければならない． しかしながら， 式 (1) のアルゴリズムでは， 動的寄生要素の存在によって， この条件が満たされない場合もあるのでロバストなアルゴリズムであるところの， 次式を採用することにした．

$$\frac{d \hat{\theta}}{d t} = - \Gamma Z D Z^T + \Gamma Z e \quad (3)$$

ここで，  $D(S)$  は， 適応スピードを上げた際にシステムが不安定になることがあるので， よりシステムの安定性を確保するための伝達関数であり，  $\Gamma$  は適応スピードを決めるパラメータある． M R A C システムが大域的安定

となる条件は,  $H_{zu}$  が stable かつ  $H_D \in \text{SPR}$  である.

$$\text{ただし, } H_D = H_{ev} - H_{zv} D = H_{evD} + D$$

$$H_{evD} = [1 - D(S)\theta_1] H_{ed}(S)$$

からなる伝達関数である.

ロバスト安定性を補償する伝達関数  $D(S)$  は,

$$D(S) = D_0 \frac{TS}{TS + 1} \quad (D_0 > 0, T > 0)$$

とし,  $H_D$  が SPR 条件を満たす様に  $D_0$  と  $T$  (ナイキスト線図, ボード線図等の用いて) を設計する. (文献 3, 文献 5)

### 3 適応制御によるシミュレーション

#### 3. 1 補償器無しの場合

シミュレーションの方法は、" 1 汐路丸の運動 " で求めたモデルプラントを " 2 制御アルゴリズム " で述べたブロック線図中の規範モデルに当てはめ、同じく実プラントをプラントに当てはめ、" 2 制御アルゴリズム " で述べた適応アルゴリズム（詳しくは、例えば文献（3）を参照）を用いて制御を行った。

ここでは、もちろんバウ、スターン両スラスターの最大推力が文献（1）にある最大推力を越えてないことを確認した。以下にその代表例を示し簡単な説明を加えるが、シミュレーションに使った適応スピードは内部信号に違いがありフィードバック側、フォワード側各々の数値の上がり方を合わせる為に違いを持たせてみた。

##### 3. 1. 1 横移動（速度制御）について

このシミュレーションは、離着岸時に必要な横移動のうち速度を適応制御を用いて制御したものであり、参考までにスラスターからの推力の合計及び加速度の変化も見ることにした。

図例は、ステップ入力（目標値として横方向への速度

0. 45 m / s 約 1 ノット) を入れてシミュレーションを行った物である。ここでの適応スピードは、フィード (バック, フォワード) 各々 (1, 0. 02) で行ってみた。

またシミュレーションの途中で制御が成されたと思われる時点で, 目標値をいったん速度 0 m / s として, 再び目標値を元に戻す事を繰り返す。 (300 sec 毎)

この図例からモデルプラントの理想的な変化に対し計算機上の実プラントは適応ゲイン, 初期値共に 0 から始めている為立ち上がりこそ遅れているが, プラント出力である所の船体のスピードが理想的なモデルプラントの出力に追従し良好な制御を行っていることが判る。また加速度は, モデルプラントのそれに比べはるかに小さく図中に出て来なかった。 (Fig - 3. 1 参照)

### 3. 1. 2 Yaw - 左旋回 (角速度制御) について

次に旋回時の角速度制御の簡単なシミュレーションを行ってみた。ここではバウ, スターン両スラスタを用いたものと仮定して行っている。

これも前節と同様各々のスラスタの推力, 角加速度も見てみた。又適応スピードは, フィード (バック, フォワード) 各々 (400, 40) としてみた。

図例は、目標値 1. 5 (deg / s) で左旋回を試み

たものであり，ここでも制御が成されたと思われる時点で目標値を  $0 \text{ (deg / s)}$  として，再び目標値を元に戻すことを繰り返した．（400 sec 毎）

この図例からもモデルプラントの理想的な変化に対し計算機上の実プラントは良好な制御を行っていることが判る．（Fig - 3. 2 参照）

### 3. 1. 3 縦方向（速度制御）について

さらに船の前進（後進）時における速度制御も簡単なシュミレーションを行ってみた．（注：これは、あくまで参考程度に行った物である．）ここでは適応スピードは，フィード（バック，フォワード）各々（40，2）とした．

図例は，目標値  $0.45 \text{ (m / s)}$  で前進を試み，ここでも制御が成されたと思われる時点で一旦目標値を  $0 \text{ (m / s)}$  として，再び目標値を元に戻す事を繰り返した．（300 sec 毎）

この図例は，あくまでも参考として行った物であるが，これもやはり良好の制御を行っている．

（Fig - 3. 3 参照）

\* 注意 \*

プロペラのスラスト最大 7 ton と仮定した．

### 3. 2 補償器を使用した場合

前節では，補償器は使わずシミュレーションを行ってみたが，ここでは補償器を使用し，その有効性を確認した．補償器の設計法と有効性，及び適応スピードとの関係はすでに文献（3）で述べられている．

#### 3. 2. 1 横移動（速度制御）について

図例は，”3. 1. 1 横移動について”でのシミュレーションと同じ条件で適応スピードを各々2倍にしてみたものである．また  $D_0 = 0.3$   $T = 1000$  とした．

この図例は動的寄生要素にバウ，スターン両スラストの動特性を当てはめてみた物であり，寄生要素としてはかなり大きいと思われるが，適応スピードを2倍にしても速度は不安定になっていない．（Fig - 3. 4 参照）

#### 3. 2. 2 Yaw - 左旋回（角速度制御）について

図例は，”3. 1. 2 Yaw - 左旋回”でのシミュレーションと同じ条件で，適応スピードを4倍にしてみた物である．また  $D_0 = 0.1$   $T = 100$  とした．この図例でも動的寄生要素にバウ，スターン両スラストの動特性をあてはめてみた．ここでは適応スピードを4倍に上げてみたが，良好な制御を行っている．



( F i g - 3 . 5 参 照 )

### 3 . 2 . 3 縦 移 動 ( 速 度 制 御 ) に つ い て

図 例 は , " 3 . 1 . 3 縦 移 動 に つ い て " で の シ ミ ュ  
レ ー シ ョ ン と 同 じ 条 件 で , 適 応 ス ピ ー ド を 6 倍 に し て み  
た 物 で あ る . ま た  $D_0 = 0.2$   $T = 1$  と し た . こ こ で  
は , プ ロ ペ ラ の 動 特 性 が 不 明 で あ る た め 動 特 性 を 動 的 寄  
生 要 素 と す る こ と が で き ず , 以 下 の 物 を 動 的 寄 生 要 素 と  
仮 定 し て 行 っ て み た が , 良 好 な 制 御 を 行 っ て い る の が 判  
る . ( F i g - 3 . 6 参 照 )

$$\text{動 的 寄 生 要 素 : } \frac{1}{S + 1}$$

\* 最後に今回のシュミレーションに使用した主な定数について簡単にまとめる。（計算機上のプラント）

m	船の総重量	6 6 0 . 7 ton
I	慣性モーメント	6 4 9 2 7 . 6 5
C	抵抗係数（回転）	4 1 1 8 2 . 6 3
	抵抗係数（前後進）	1 6 . 5 0 1

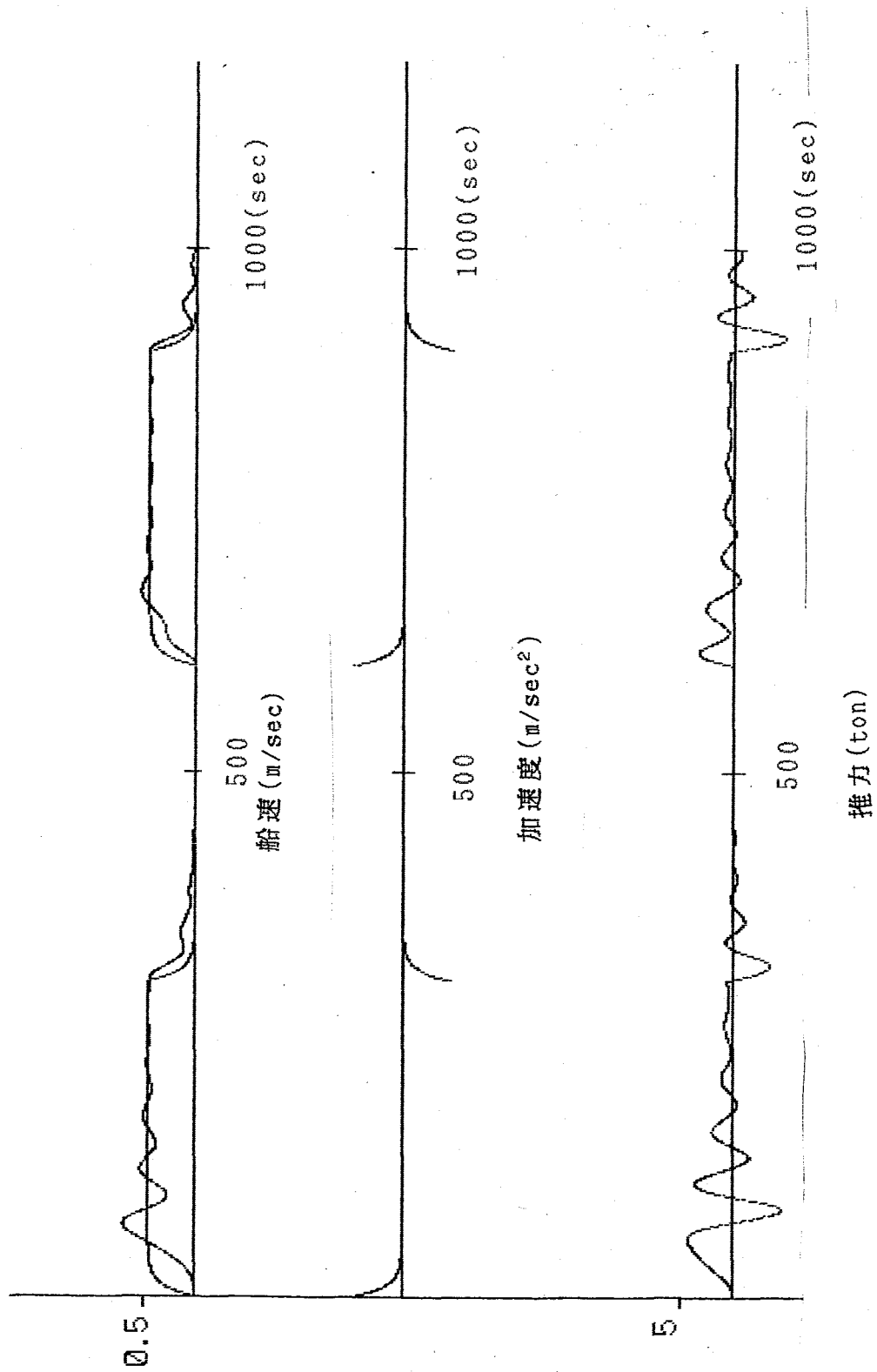


Fig - 3. 1

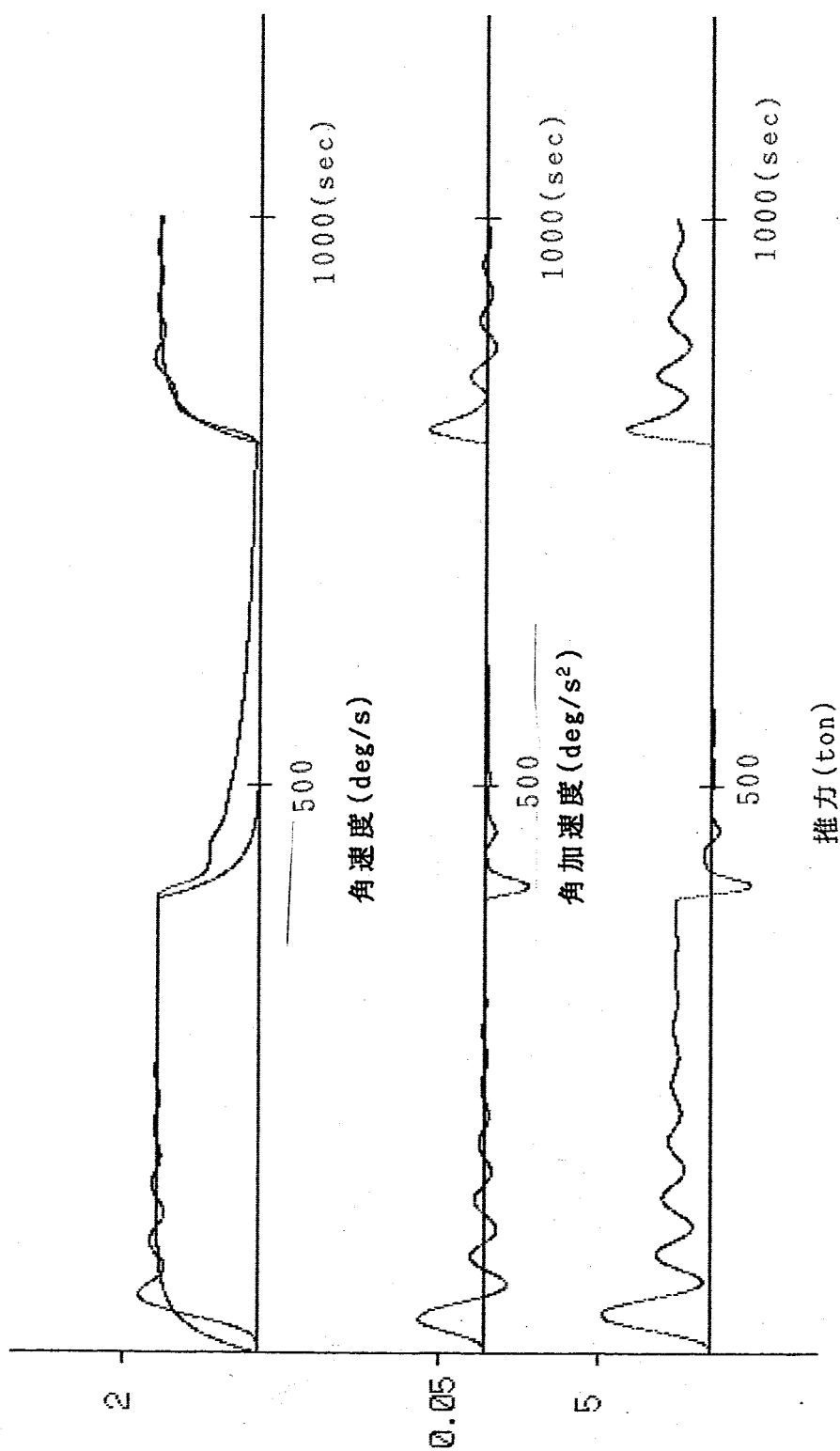


Fig - 3. 2

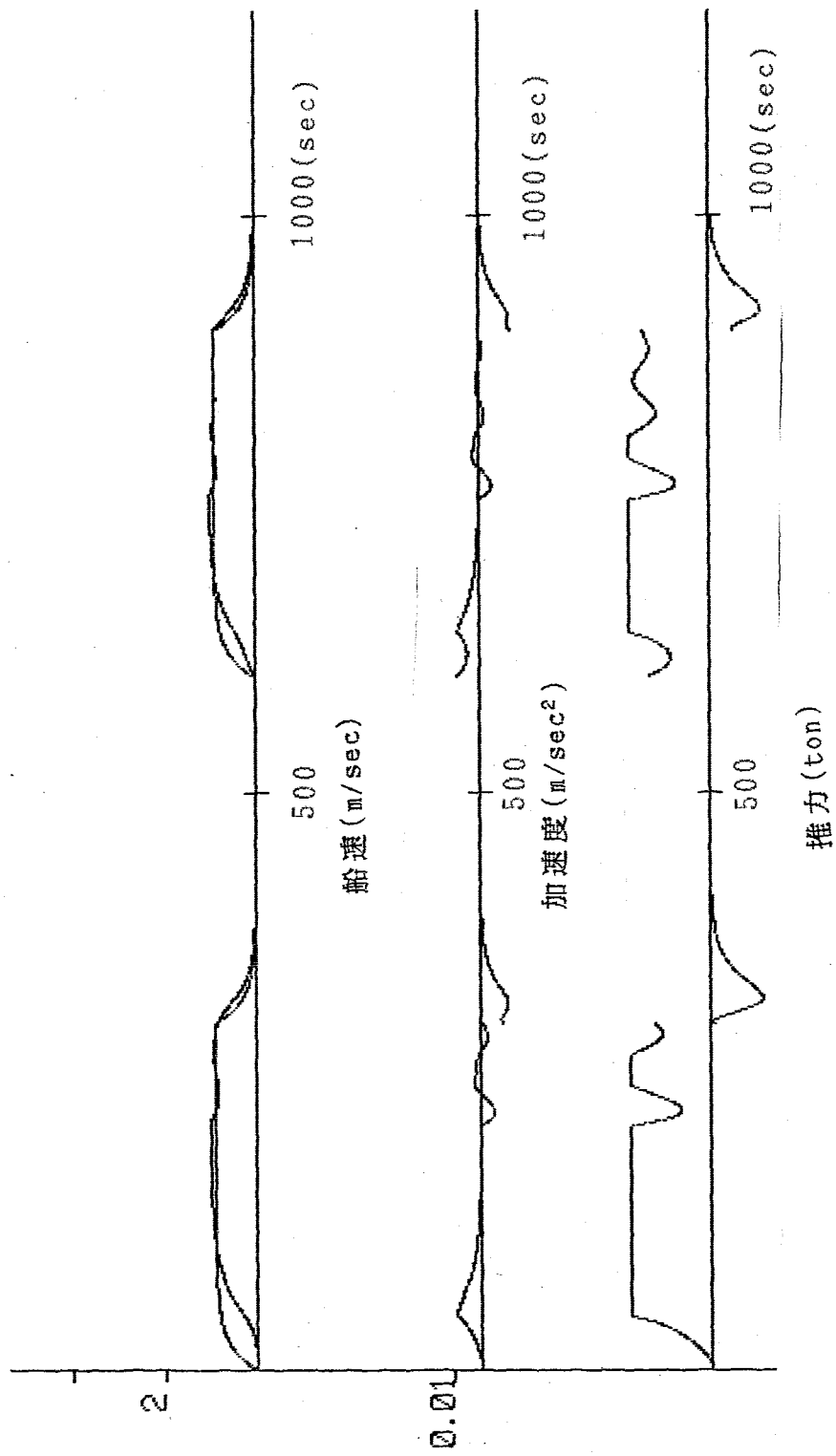


Fig - 3. 3

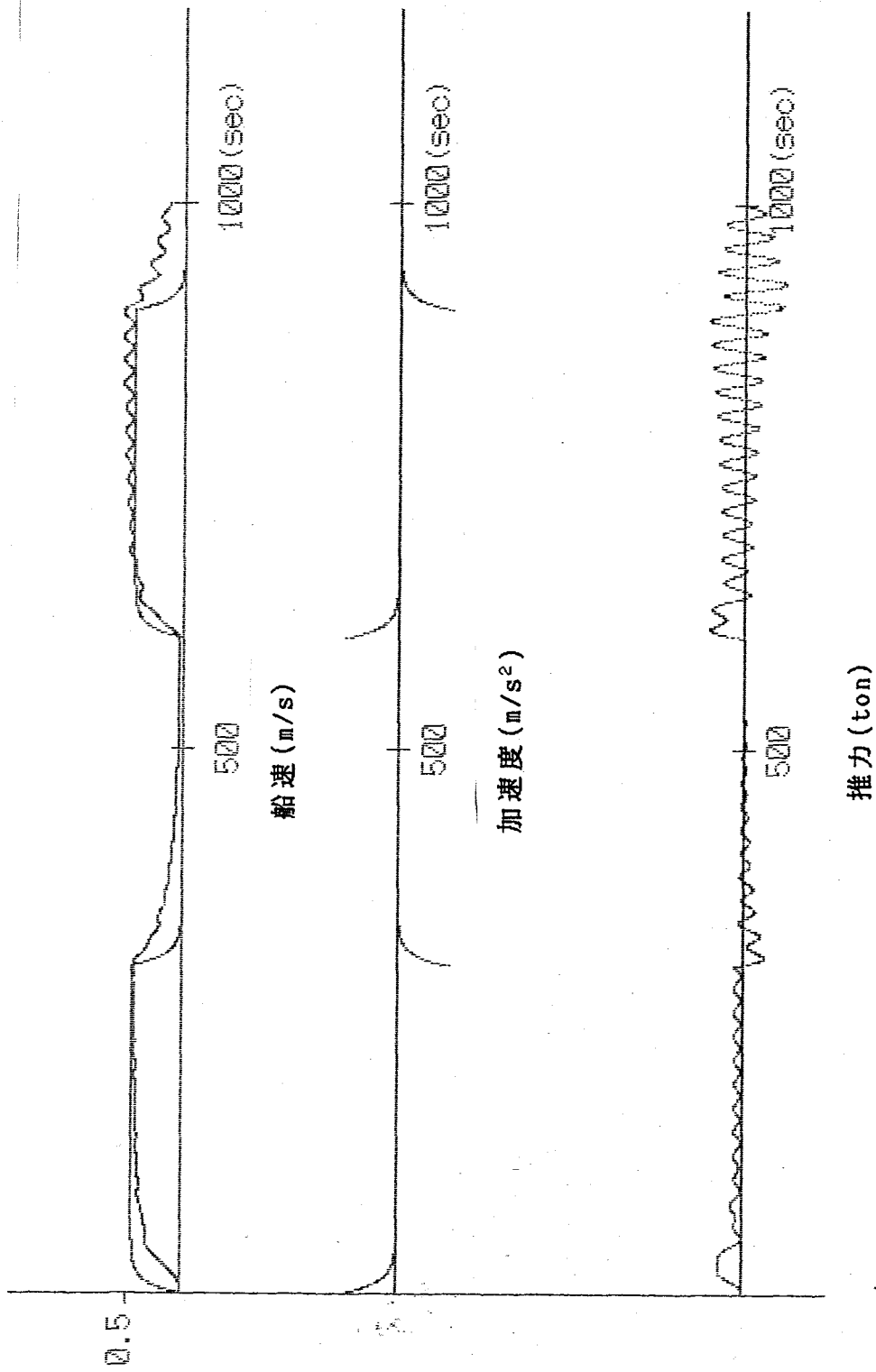


Fig - 3. 4

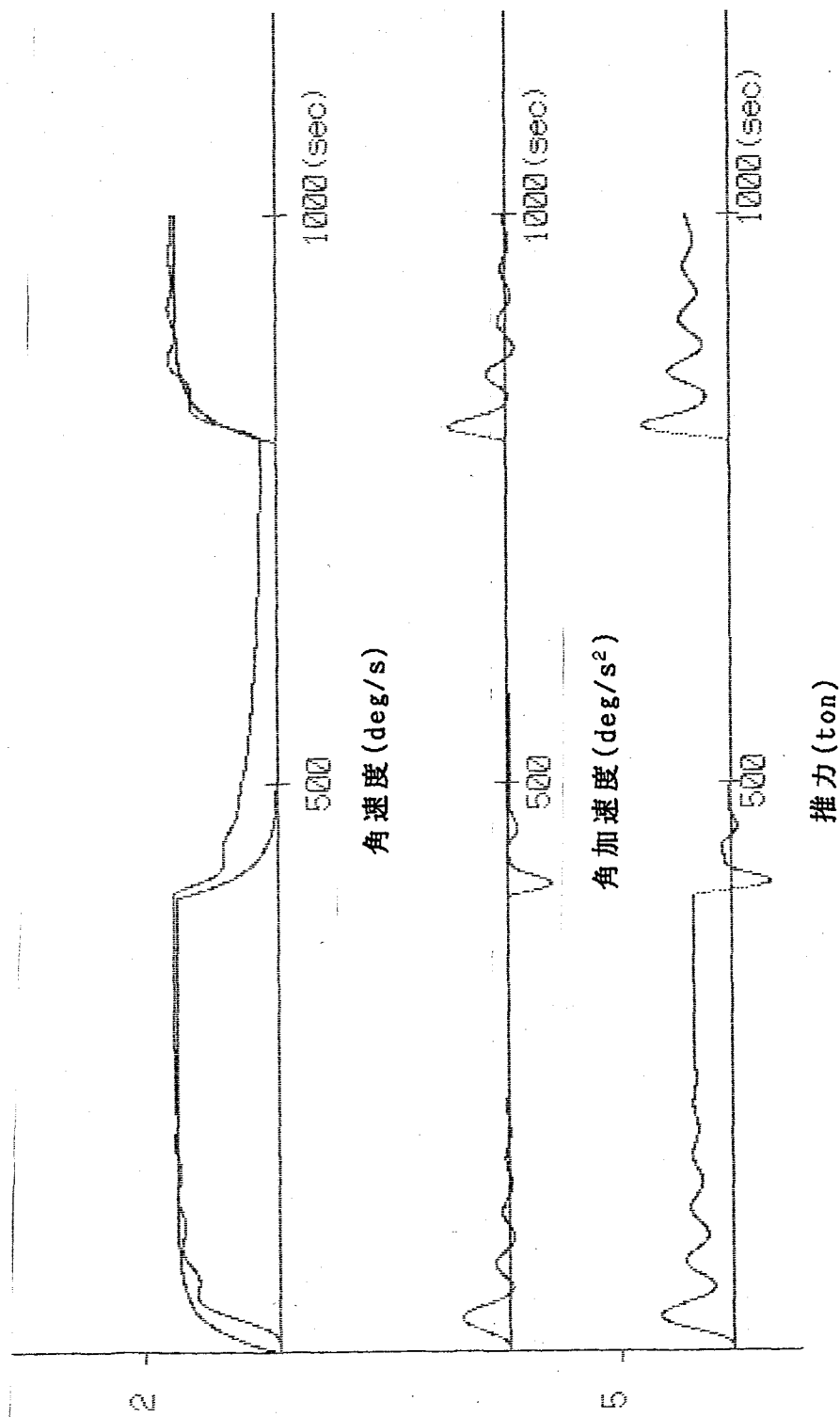


Fig - 3. 5

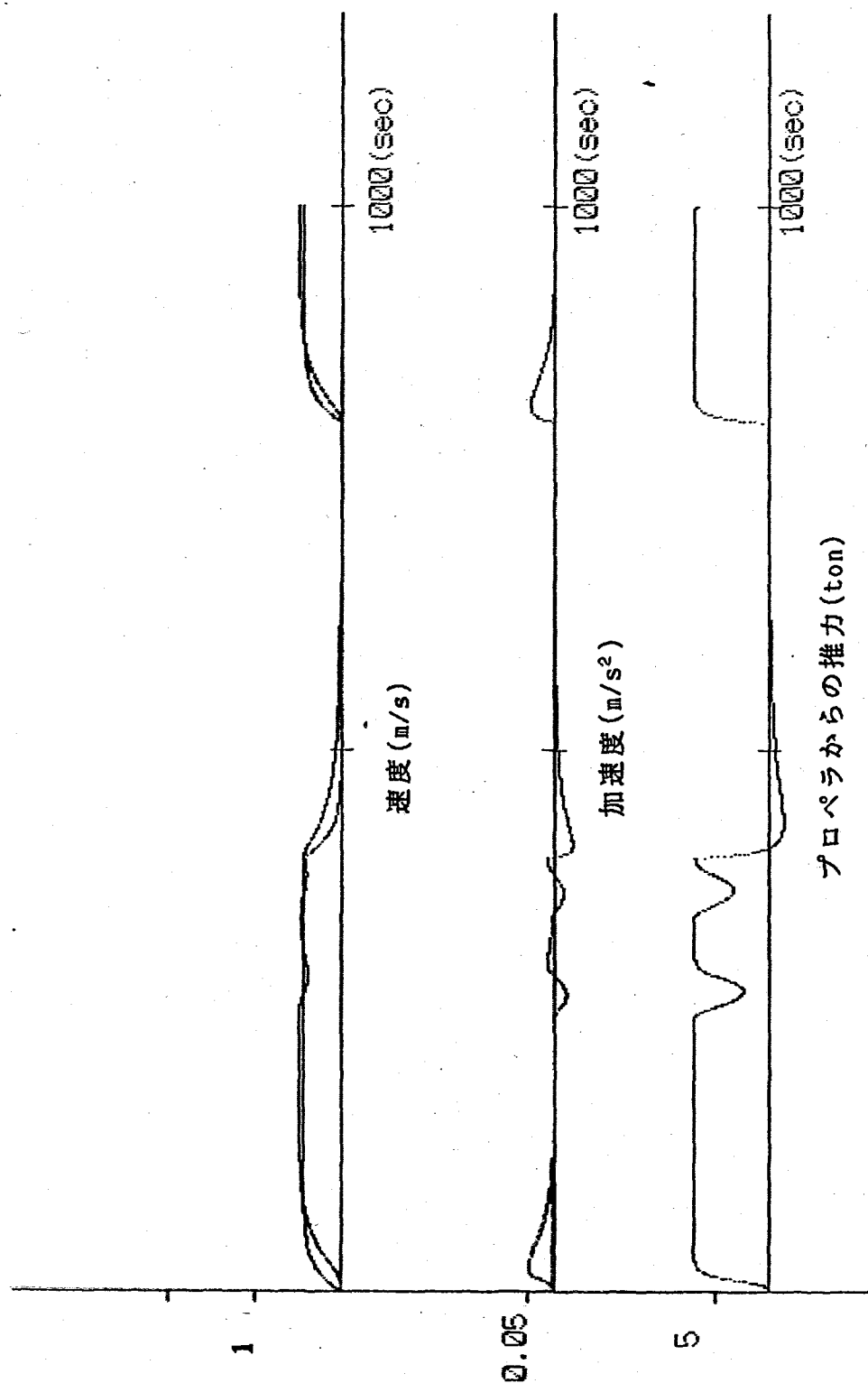


Fig - 3. 6



## 4 実船実験

” 3 適応制御のシミュレーション ” の結果から，適応的手法による船舶の運動制御が，実船実験可能であると思われたので東京商船大学練習船汐路丸（汐路丸主要項目参照）を使用して実船実験を試みた．

### 汐路丸主要項目

船型	全通船楼甲板型	航行区域	近海区域
全長	49.93m	垂線区間	46.00m
型幅	10.00m	型深さ	3.80m
型喫水（満載時）	3.01m	排水量（満載時）	717.52ton
総トン数	425ton		
主機関	ダイハツディーゼル6-DLM-26SL		
	4サイクル中速ディーゼル機関		
連続最大出力×回転数	1400ps×700rpm		
最大スラスト	10ton		
プロペラ	かもめ4翼可変ピッチハイスキュー型		
直径×回転数	2200mmφ×300rpm		
スターンスラスト	住吉重工	t-50型ウオータジェット	
	最高回転数	1070rpm	
	最高回転時	1863kg	
バウスラスト	TC-85N		
	入力馬力	150kw	
	入力回転数	1800rpm	
	公称スラスト	2400kg	

# 4. 1 実験準備

汐路丸には、以下の図に示す船内LANシステムと計算機が備わっている。

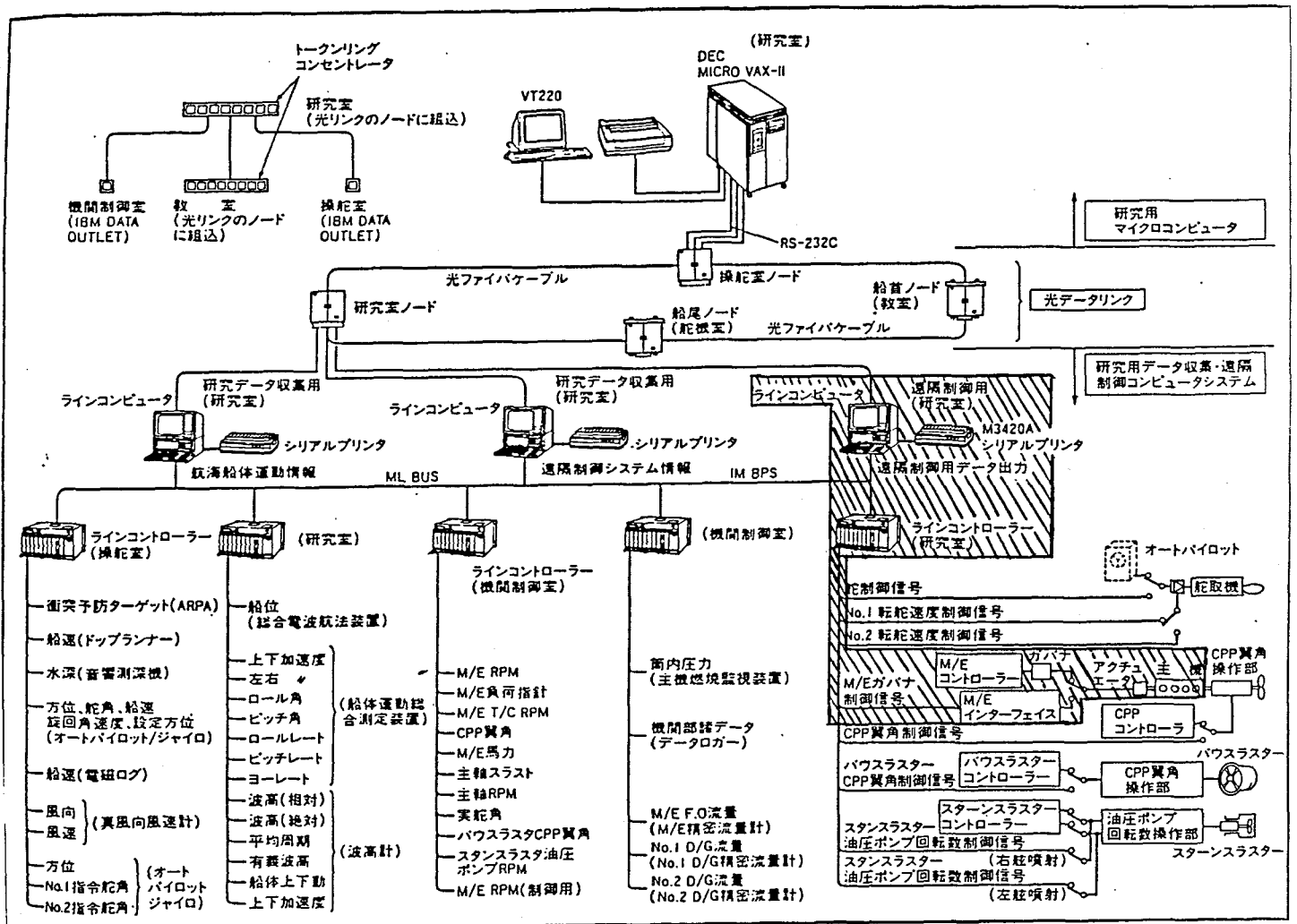
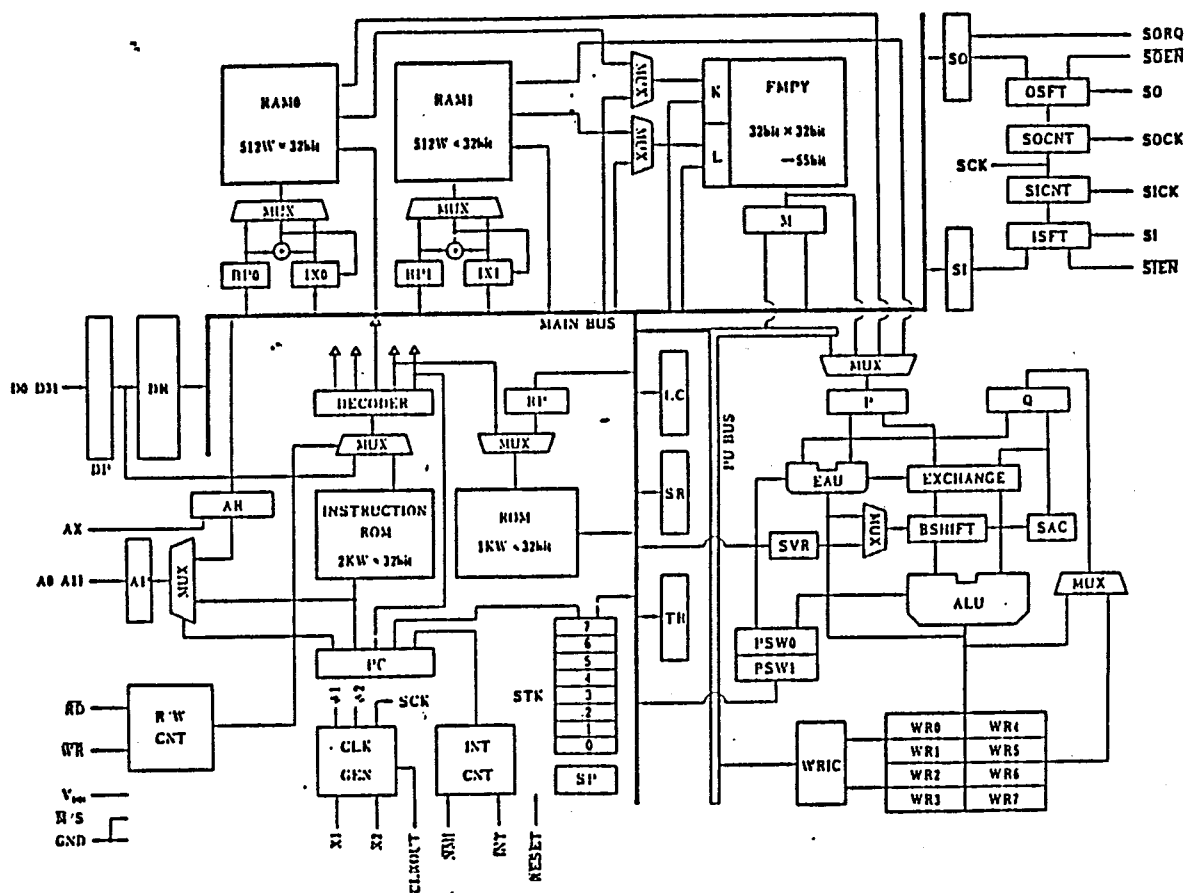


Fig 4-1 汐路丸の船内LANシステム

適応制御則は，大量の計算量が必要とされる．そこで今回は，船内LAN中のラインコンピュータを使用せずに，デジタルシグナルプロセサ（DSP）を使用した．使用したDSPは，NEC社製 $\mu$ PD77230で，メモリーと共に拡張ボードとしたものを利用した．（マイテック社製MSP-77230）以下に $\mu$ PD77230のブロック線図を示す．



F i g 4 - 2      D S P の ブ ロ ッ ク 線 図

# \* D S P 使用例

今回使用した D S P の使用例をプログラム構造と共に示す。(プログラムは, "a"ドライブにあると仮定する)

m a i n 1 . s r c : メインプログラム

m a i n s 0 . s r c : 適応制御を行う時, 必要とおもわれるプログラム

h s o . s r c : P C と D S P の間で, ハンドシェークを行うプログラム

各プログラムを r a 7 7 2 3 0 にかける.

例: r a 7 7 2 3 0 a: プログラム名 [RET]

各プログラムは, 次の様になる.

main1.src → main1.prn, main1.rel

mains0.src → mains0.prn, mains0, prn

hso.src → hs0.prn, hs0.rel

これらのプログラムを L K 7 7 2 3 0 にかける.

例: l k 7 7 2 3 0 a:main1 a:mains0 a:hs0  
to a:main1 [RET]

すると a ドライブに m a i n 1 . l n k と

m a i n 1 . m a p ができる.

これを o c 7 7 2 3 0 にかける.

例: o c 7 7 2 3 0 a:main1 [RET]

これらの作業によって実行プログラム

m a i n 1 . h e x ができる.

次に、P C - 9 8 0 0 側のプログラムを構造を示す。  
P C 側のプログラムは 4 つあり、すべて C 言語（コンパイラは、クイック C を使用した。）で書かれている。

s i m l o a d . c : シミュレーション用のデータをロードするプログラム

s c r t c n t . c : ロードされたデータの変更，確認するプログラム

d s p \_ h s . c : P C と D S P の間で，ハンドシェークを行うプログラム

0 0 1 . c : メインプログラム

各々を，コンパイルした後にリンクして，  
実行プログラム 0 0 1 . E X E ができる。

1 ) D S P に D S P 用の実行プログラムをロードさせる。

例：M D R a : m a i n 1 . h e x [ R E T ]

2 ) P C - 9 8 0 0 用の実行プログラムでコンピュータを作動させる。

D S P 用の実行プログラムを作成する際に，使用したプログラム（\*\* 7 7 2 3 0 ）は，D S P ボードにデッバック（T P R E A D . C 等）と共に付属されている。

## 4. 2 実験結果

今回は、船舶の運動制御に適応的手法が有効であることを確認するための実船実験である。そのため比較的制御が簡単であると思われる一次遅れであるところの速度制御を試みた。速度制御の方向として各方向が考えられるが、現在の汐路丸の状態（例えば現在、ドップランナが不調である）から停船状態よりの旋回角速度を選んでみた。制御入力としては、バウ、スターン両スラスタが上げられるが、スターンスラスタは、ポンプ形式であるのでキャビテーションの心配がある。そこで、C P P 翼角に入力できる、バウスラスタからの制御入力を選んでみた。（C P P 翼角を制御するだけであるので、過電力を入力しないことだけ注意すれば良いが、過電力入力防止機構が汐路丸には、備わっているので実際には考慮する必要は無く、スターンスラスタを使用するより安全である、と判断した）

又、本実験は船舶の運動制御に適応的手法が有効であることを確認することが実験目的であるので、今回の実験を基に様々なバージョンアップが考えられるので、目標値をリアルタイムで任意に変更できる等、設計にゆとりをもって設計してあり、実船実験においても目標値は任意に変化させてある。

F i g - 4 . 1 及び F i g - 4 . 2 は適応ゲイン（フ

ィードバック，フィードフォワード共に)を一定に固定して機器のテストを兼ねて実験してみたものである。これらの図例では，出力信号 入力信号が入出力の確認を始め，フィードバックがなされている事など確認できた。しかし，適応制御がなされていないので当然制御性は，悪くなっている。

F i g - 4 . 3 及び F i g - 4 . 4 は先の図例とは異なり，適応制御を施している。そのために，これらの図例には適応ゲインの変化が見られる。制御完了までに至っていないが，モデル出力に追従する方向にある。これらの図例では，適応スピードが小さいので適応スピードを上げることにより，制御性の向上が期待できる。

(目標値については，F i g - 4 . 3 では，1

F i g - 4 . 4 では，- 1

の後任意変化させてある)

F i g - 4 . 5 及び F i g - 4 . 6 は，さらに適応スピードをあげてみた。制御完了と思われる時点まで到達してはいないが，おおむね制御する方向にあると思われる。ここまでの実験で適応スピードというパラメータの有効性が確認できる。(目標値は，任意変化させてある)

\* 実験終了時点での適応ゲイン

	フィードバック	フィードフォワード
Fig-4.1	1.00(固定)	1.00(固定)
Fig-4.2	1.00(固定)	1.00(固定)
Fig-4.3	0.91	0.52
Fig-4.4	0.83	0.58
Fig-4.5	1.37	1.10
Fig-4.6	2.63	0.22

これらの図例では、時間、環境等（千葉県船形沖 台風避難の船舶が多数停泊していた）の良好な制御がなされるまでに至らなかったが、おおむね制御する方向にあることが、うかがえる。

実験結果の図例全ての実船旋回角速度出力にノイズが見られるが、これは実験当日（1990年11月29日）汐路丸の角速度出力端子が不調であったため、ジャイロからの現在方位の変化を微分して角速度としたためのノイズであると思われる。

また、旋回角速度の初期値が0から始められなかったのは、台風の影響で潮流や風等の外乱が思いのほか大きく



船の初期設定を停船状態に保てなかったためであり実験の主旨や，方法とは関係ない。

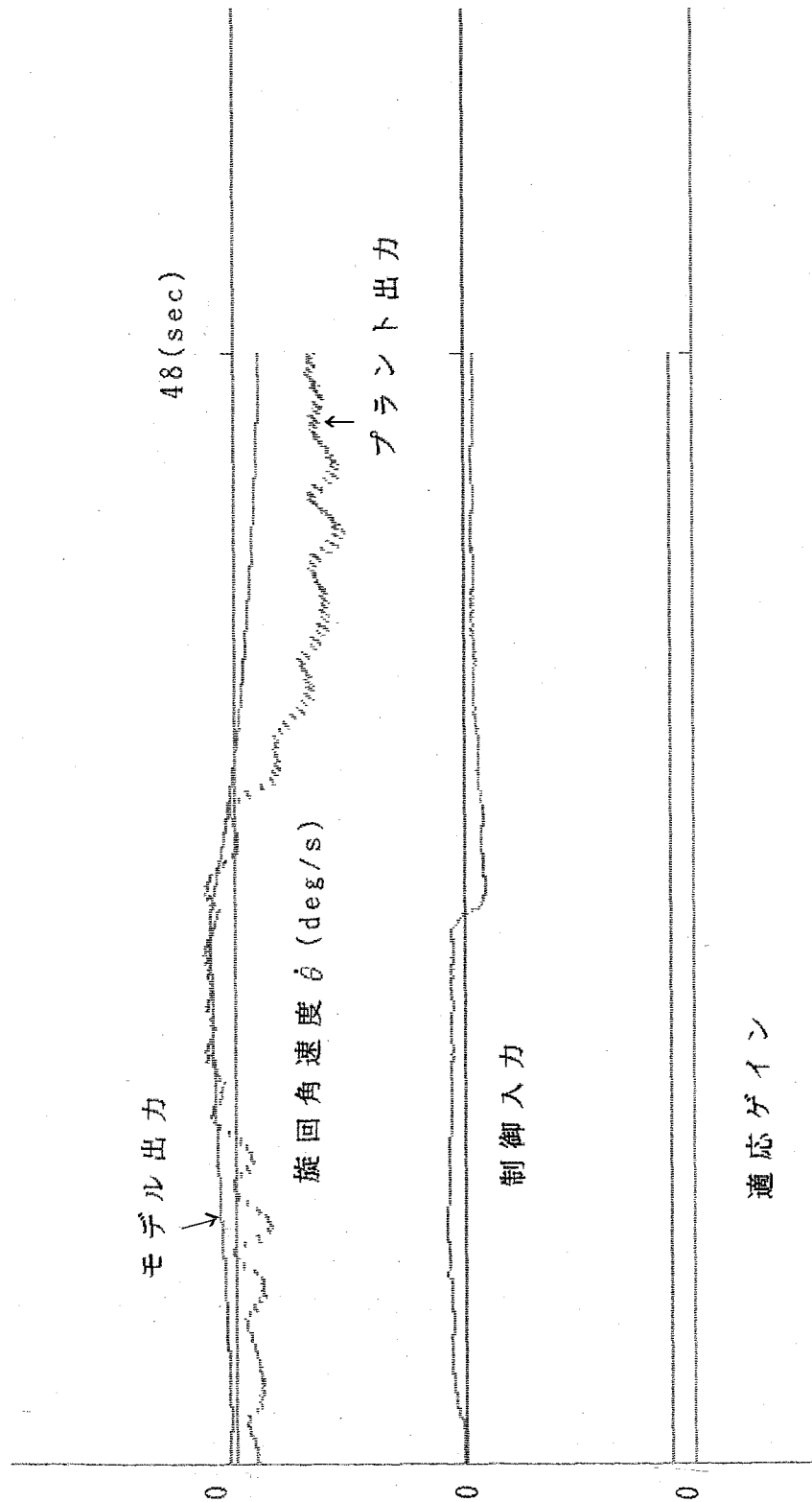


Fig-4. 1

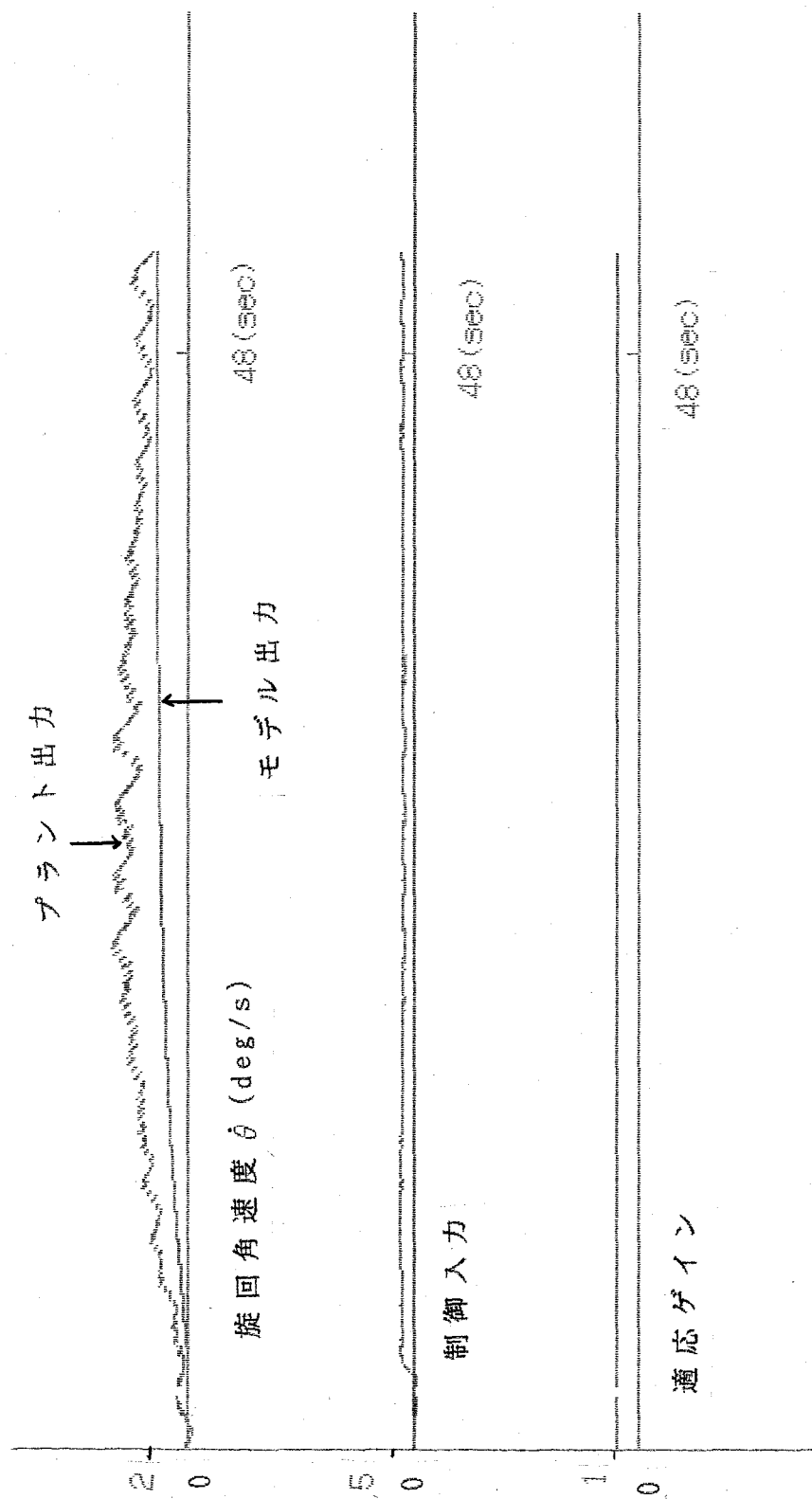


Fig - 4. 2

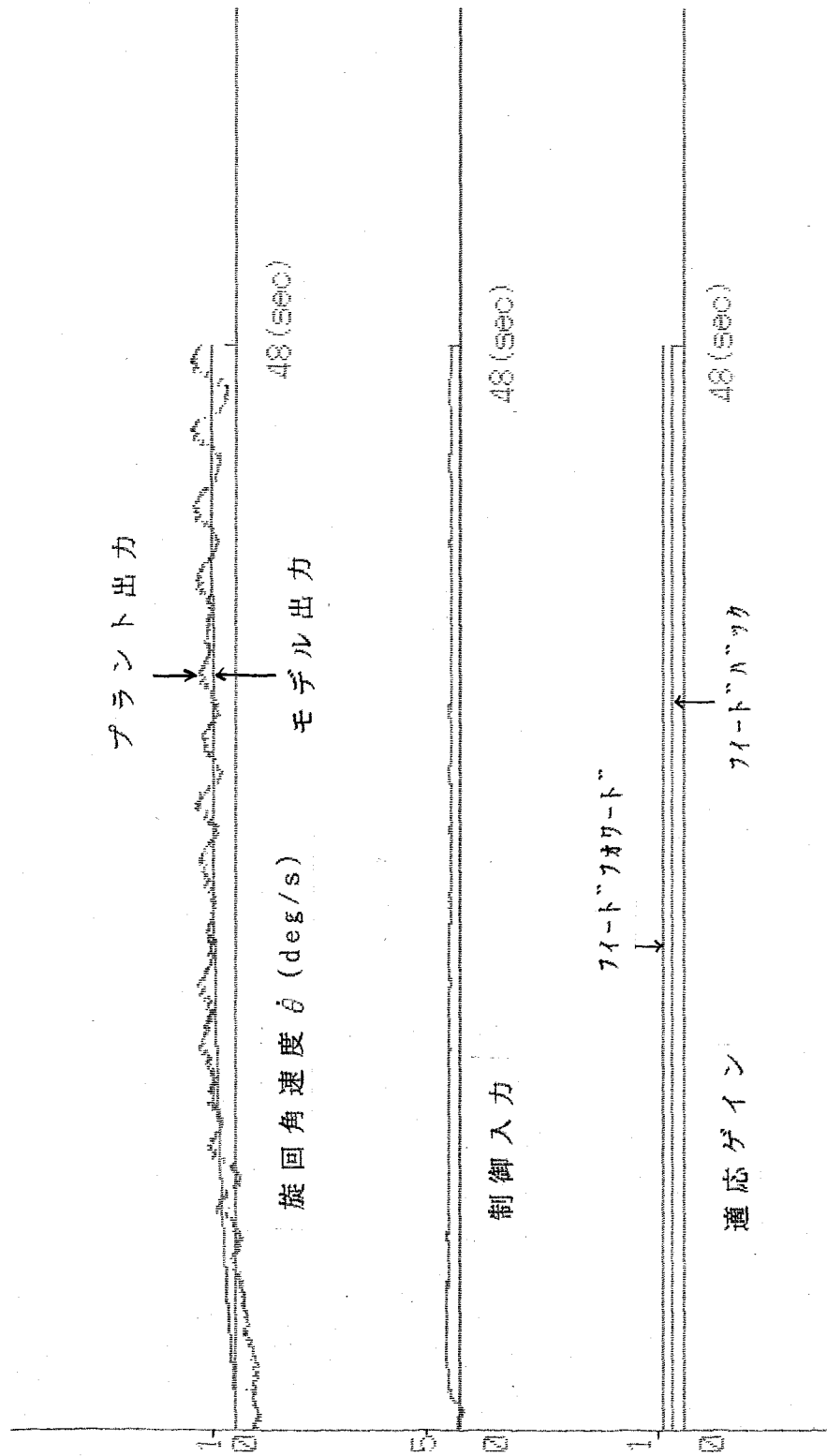


Fig-4.3 適応スピード 0.05

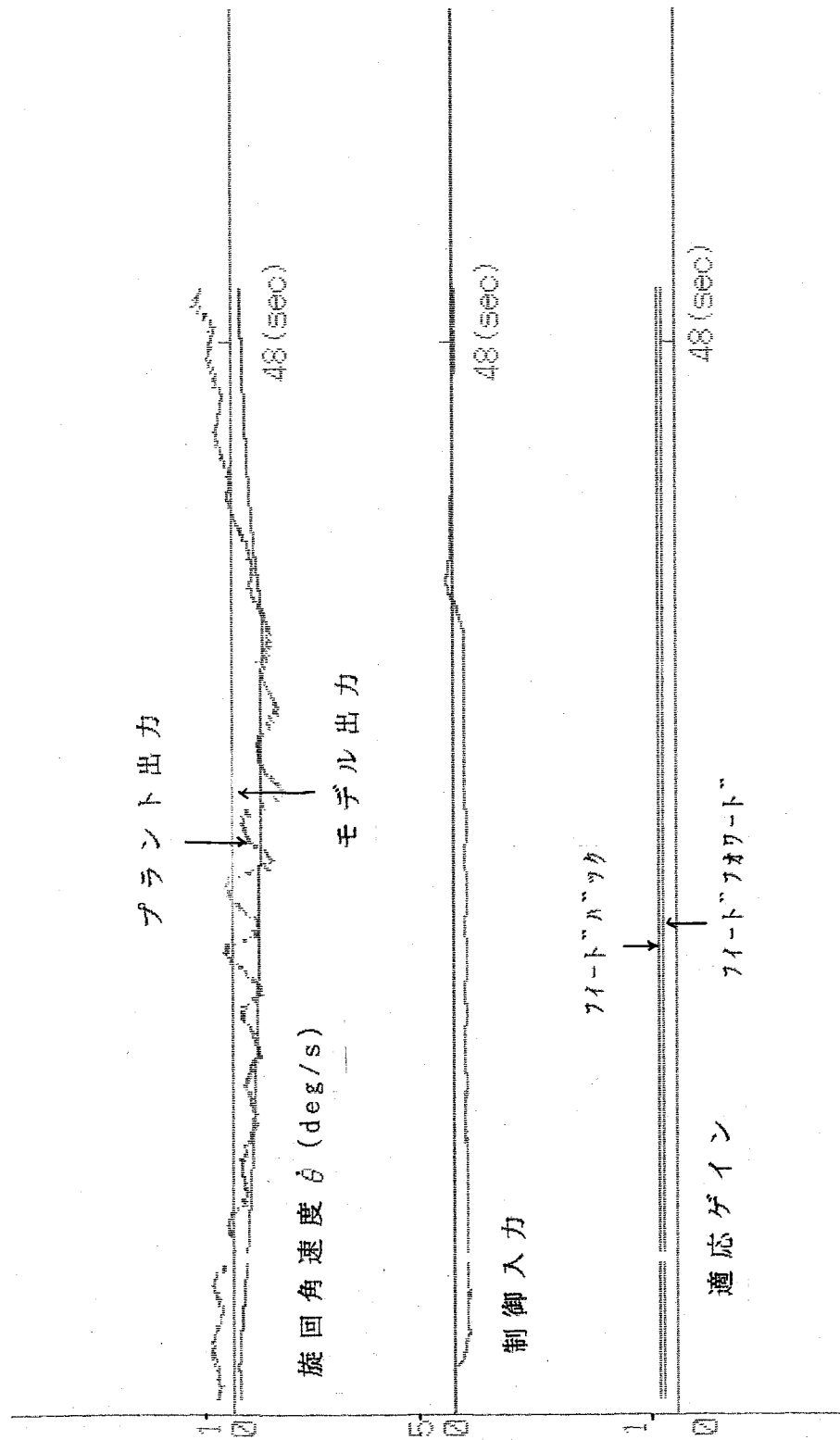


Fig-4. 4 適応スピード 0.05

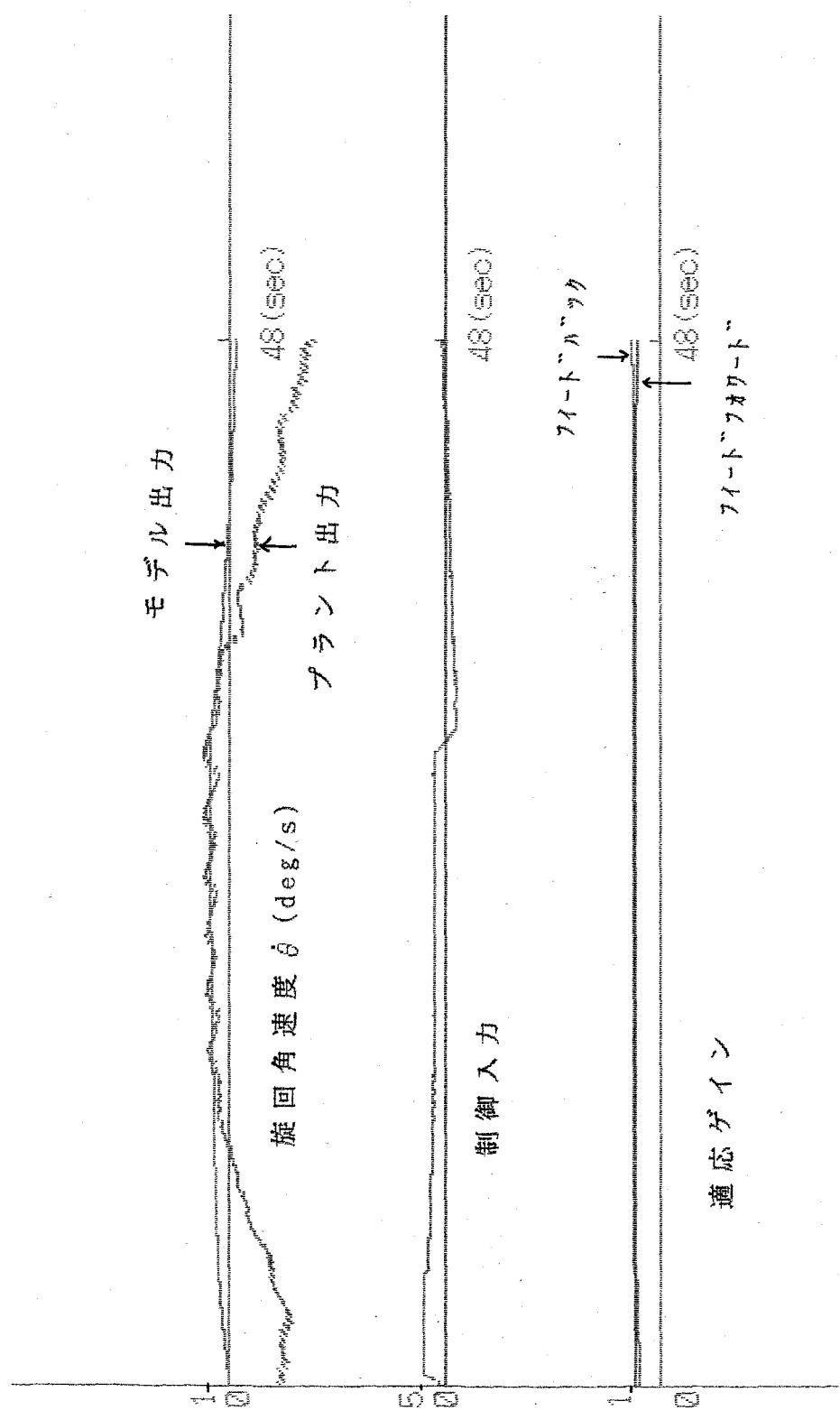


Fig-4.5 適応スピード 2. 5

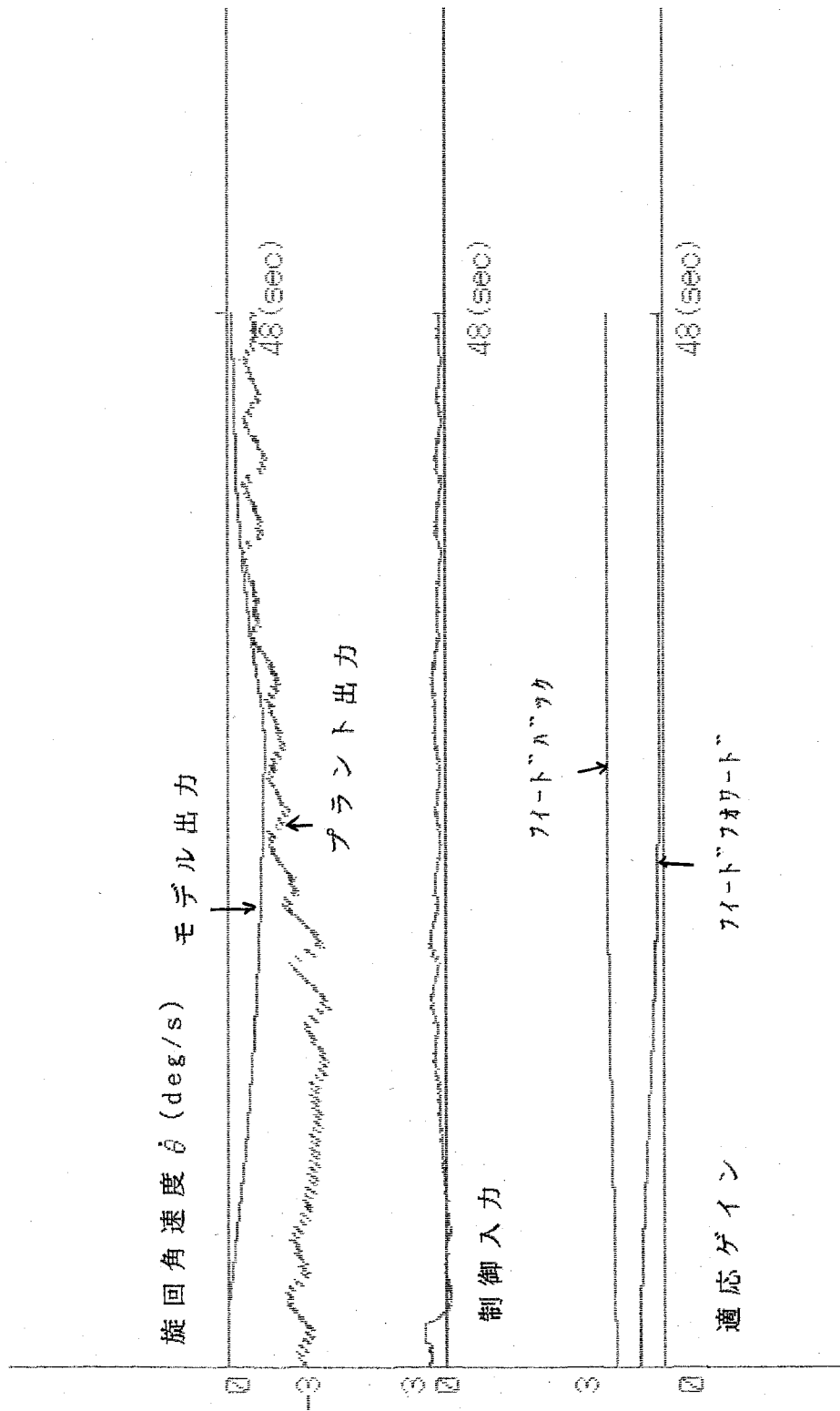


Fig-4. 6 適応スピード 2. 5

終わりに

今回の実船実験では、時間環境等の制約もあり良好な制御成績が得られるまでに至らなかった。しかし実験結果を見ても判る様におおむね制御する方向にあると思われる。

すなわち、適応的手法による船舶の運動制御が可能であると判断できるものと思われる。

さらに今回の実船実験において、以下の問題点が新に確認できた。

\* スラスタの入力方向を表すフラッカーが、メインコンソール（ブリッジ、機関制御室）にあるが、このフラッカーは入力方向に関係なく入力値が変化する際に、変化方向に点灯する。

例： 入力値	0.1	->	0.2	プラス方向に 点灯
入力値	-0.1	->	0.1	プラス方向に 点灯
入力値	0.1	->	0.0	マイナス方向 に点灯
入力値	0.1	->	-0.1	マイナス方向 に点灯

頻繁な、フラッカー点灯はリレーの寿命そのものを短



くするだけではなく、船のシステム自体を痛める可能性も出てくる。

則ち、入力の際に数秒の時定数を持った一次遅れ関数などの、入力フィルター等を考える必要が出てくるが、より精密な、より即応性の高い制御を求める時に数秒の時定数を持った入力フィルターが、制御性に関わらないとは、言いがたいものがあると思われる。この問題は、制御性そのものに直接影響しており、見方によっては制御の本質的な問題でもあるので、慎重に取り扱う必要があるものと思われる。

また、今回の実船実験を基本実験として取扱、得られた適応ゲインを Tuned\_gain (今回の実験では, Tuned\_gain が得られるまでに至っていないと思われる) とみなして、規範モデルの再考慮を行うところによって、さらなる制御性が期待できる。

今回の実船実験では、制御入力にバウスラスターからの入力のみで行ってみただけであり、船舶の統合的な制御を検証するまでには、まだまだ至っていない。また、実船実験を行うことで、陸上で考えているより、多くの問題点が露見されてくる。今後船舶の統合的な制御を考える際には、実船実験を多く伴い、問題点を発見し、着実に解決する事によって、適応的手法による統合的な船舶の運動制御の実現が期待できる。

## 謝 辞

最後に実船実験では，汐路丸萩原船長，堀田機関長を始めとする乗り組みの方々に多くの御助言，御指導をいただき感謝いたします。

舶用制御工学科の森下教授，濱田助教授には，大学時代から長期にわたり，多くの御指導，御教授いただき感謝の意を表します。平素よりの，河野教授，平沼助教授，三嶋技官，大石技官の御助言に深く感謝します。

## 参考文献

- ( 1 ) 石川島播磨重工株式会社 : 東京商船大学練習船汐路丸操船ブックレット  
(1987)
- ( 2 ) 航海便覧編集委員会 : 航海便覧  
海文堂 (1976)
- ( 3 ) 濱田 和恭 : 適応制御系のロバスト性に関する研究  
名古屋大学大学院工学部博士論文 (1987)
- ( 4 ) 濱田, 鈴木 : ロバストな適応制御則  
24th Annual Allerton Conference on  
Communication Control  
& Computing  
(1985)
- ( 5 ) 武藤 義美 : 適応的手法による倒立振子姿勢制御  
東京商船大学大学院修士論文 (1989)
- ( 6 ) 安藤, 高橋 : D D C によるディーゼル主機回転数制御についての研究

東京商船大学卒業論文  
(1989)

( 7 ) 武藤, 濱田, 森下 : 倒立振子のロバスト適  
応制御則

計測制御学会－論文集  
(1990)

( 8 ) 森下, 藻垣 : パーソナルコンピュー  
タを用いたモデル規範  
型適応制御のレベルサ  
ベージタンクへの応用  
東京商船大学学術講演  
会論文集(1986)

\* D S P を使用したプログラム例

プログラム例として D S P を使ったシミュレーション用のメインプログラムを載せる。

アッセンブラで書かれた物は， D S P にロードするための， C で書かれたものは， P C - 9 8 用である。

---

NAME MAIN1.SRC ;name of this program

\*\*\*\*\*

```

RAMALCLR      EQU      0017H      ;
SINWRO        EQU      0327H      ;
SOUTWRO        EQU      0375H      ;
FINWRO         EQU      0279H      ;
FOUTWRO        EQU      02B0H      ;
SINDR          EQU      032CH      ;
SOUTDR         EQU      037BH      ;
FOUTDR         EQU      02B4H      ;
SINRAM0        EQU      0084H      ;
SINRAM1        EQU      00B2H      ;
SOUTRAM0       EQU      0399H      ;
SOUTRAM1       EQU      03B9H      ;
SQUAE          EQU      013BH      ;
DIV            EQU      075CH      ;

```

\*\*\*\*\*

```

PUBLIC MAIN1
PUBLIC MAIN

```

\*\*\*\*\*

```

EXTRN  START_ID      ;
EXTRN  MINTHI,MINTLOW ;
EXTRN  REQHLH        ;
EXTRN  BRRAM0,BRRAM1 ;
EXTRN  BWRAM0,BWRAM1 ;
EXTRN  DSPIEEE0,DSPIEEE1 ;
EXTRN  IEEEDSP0,IEEEDSP1 ;
EXTRN  FLTFIX0,FLTFIX1 ;
EXTRN  FIXFLT0,FIXFLT1 ;
EXTRN  RMOVS01,RMOVS10 ;
EXTRN  RAMCLR0,RAMCLR1 ;

```

\*\*\*\*\*

```

EXTRN  MULX_R0,MULX_R1 ;
EXTRN  AD_ALGO        ;
EXTRN  AD_CONTL       ;
EXTRN  E_FILTER       ;
EXTRN  CK_LIMIT       ;
EXTRN  LIMITER        ;
EXTRN  S_NORM1        ;

```

\*\*\*\*\*

DINRO	EQU 0H	;Ram0 addr. and val data
AM_IN	EQU 4	;amount of input data
ADR_YAW_S	EQU DINRO+0H	;I/O addr. of YAW_S(angle speed)
ADR_YAW_R	EQU DINRO+1H	;I/O addr. of YAW_R
ADR_YOKO_S	EQU DINRO+2H	;I/O addr. of YOKO_S
ADR_YOKO_R	EQU DINRO+3H	;I/O addr. of YOKO_R
DOUTRO	EQU 10H	;first addr. of out put
AM_OUT	EQU 14	;amout of out put
ADR_UP	EQU DOUTRO+0H	;I/O addr. of plant input(yaw)
ADR_UP_Y	EQU DOUTRO+1H	;I/O addr. of plant input(yoko)
ADR_E	EQU DOUTRO+2H	;I/O addr. of error(yaw)
ADR_E_Y	EQU DOUTRO+3H	;I/O addr. of error(yoko)
ADR_YD	EQU DOUTRO+4H	;I/O addr. of plant output(yaw)
ADR_YD_Y	EQU DOUTRO+5H	;I/O addr. of plant output(yoko)
ADR_YR	EQU DOUTRO+6H	;I/O addr. of model output(yaw)
ADR_YR_Y	EQU DOUTRO+7H	;I/O addr. of model output(yoko)
ADR_ED	EQU DOUTRO+8H	;I/O addr. of ED(yaw error after D(s)
ADR_ED_Y	EQU DOUTRO+9H	;I/O adr. of EDY(yoko error after D(s)
ADR_KY1	EQU DOUTRO+0AH	;I/O addr. of KY1(yaw)
ADR_KR1	EQU DOUTRO+0BH	;I/O addr. of KR1(yaw)
ADR_KY1_Y	EQU DOUTRO+0CH	;I/O addr. of KY1Y(yoko)
ADR_KR1_Y	EQU DOUTRO+0DH	;I/O addr. of KR1Y(yoko)
SADR_Z	EQU 30H	;first addr. of regressor Z
AM_Z	EQU 2	;amout of Z
SADR_ZY	EQU SADR_Z+0H	;storing addr. of ZY
SADR_ZR	EQU SADR_Z+1H	;storing addr. of ZR
SADR_Z_Y	EQU 35H	;
AM_Z_Y	EQU 2	;
SADR_ZY_Y	EQU SADR_Z_Y+0H	;
SADR_ZR_Y	EQU SADR_Z_Y+1H	;
MODELCOF	EQU 50H	;first addr. of model coff
AM_MCOF	EQU 5	;amount of model coff
ADR_M_COF1	EQU MODELCOF+0H	;
F_COF1	EQU 60H	;first addr. of filter_cof1(ram0)
AM_COF1	EQU 10	;amount of filter cof1
CCOMPCOF	EQU F_COF1+0H	;first addr. of C(s) coff
DCOMPCOF	EQU F_COF1+5H	;first addr. of D(s) coff
F_COF2	EQU DCOMPCOF+5	;first addr. of filter_cof2
AM_COF2	EQU 10	;amount of filter cof2
SF0_COF	EQU F_COF2+0H	;first addr. of SF0 coff
SF1_COF	EQU SF0_COF+5H	;first addr. of SF1 coff
CTRL	EQU 0H	;Ram1 addr. and val data
AM_CTRL	EQU 5	;first addr. of control data
CONTROL0	EQU CTRL+0H	;amount of control and sts
STS	EQU CTRL+AM_CTRL	;addr. of control0
AM_STS	EQU 4	;first addr. of sts data
STS0	EQU STS+0H	;amount of sts data
STS1	EQU STS+1H	;addr. of sts0
STS2	EQU STS+2H	;addr. of sts1
STS3	EQU STS+3H	;addr. of sts2
		;addr. of sts3

UTLITY	EQU 20H	;first addr. of utlity data
AM_UTIL	EQU 7	;amount of utlity data
ADR_GDT	EQU UTLITY+0H	;addr. of Gamma*dt
ADR_DT	EQU UTLITY+1H	;addr. of dt
SCALE0	EQU UTLITY+2H	;addr. of scaling factor 0 (0.1)
SCALE1	EQU UTLITY+3H	;addr. of scaling factor 1 (0.01)
AMP_AD1	EQU UTLITY+4H	;addr. of A/D converter amp G1
AMP_AD2	EQU UTLITY+5H	;addr. of A/D converter amp G2
AMP_AD3	EQU UTLITY+6H	;addr. of A/D converter amp G3
SADR_K	EQU 30H	;first storing addr. of K
AM_K	EQU 2	;amount of K
SADR_K_Y	EQU 35H	;
AM_K_Y	EQU 2	;
SADR_VAL	EQU 40H	;storing addr. of val(Ram1)
SADR_E	EQU SADR_VAL+0H	;storing addr. of E
SADR_E_Y	EQU SADR_VAL+1H	;
SADR_EC	EQU SADR_VAL+2H	;storing addr. of EC
SADR_EC_Y	EQU SADR_VAL+3H	;
SADR_ED	EQU SADR_VAL+4H	;storing addr. of ED
SADR_ED_Y	EQU SADR_VAL+5H	;
SADR_YD	EQU SADR_VAL+6H	;storing addr. of YD
SADR_YD_Y	EQU SADR_VAL+7H	;
SADR_YR	EQU SADR_VAL+8H	;storing addr. of YR
SADR_YR_Y	EQU SADR_VAL+9H	;
SADR_UP	EQU SADR_VAL+0AH	;storing addr. of UP
SADR_UP_Y	EQU SADR_VAL+0BH	;storing addr. of UPY(yoko)
MODELVAL	EQU 55H	;first addr. of model val
SADR_M_VAL1	EQU MODELVAL+0H	;storing addr. of actuator val
SADR_M_VAL2	EQU MODELVAL+5H	;
F_VAL1	EQU 65H	;first addr. of filter1 val
CCOMPVAL	EQU F_VAL1+0H	;first addr. of C(s) val
DCOMPVAL1	EQU CCOMPVAL+5H	;first addr. of D(s) val
DCOMPVAL2	EQU DCOMPVAL1+5H	;
F_VAL2	EQU DCOMPVAL2+5H	;first addr. of filter2 val
SF0_VAL	EQU F_VAL2+0H	;first addr. of SF0 val
SF1_VAL	EQU SF0_VAL+5H	;first addr. of SF1 val
;2-PORT ram address		
TPR_DIN	EQU 1800H	;first addr. of input data
TPR_DOUT	EQU 1810H	;first addr. of output data
TPR_CTRL	EQU 1830H	;first addr. of control
TPR_STS	EQU 1835H	;first addr. of sts
TPR_UTIL	EQU 1850H	;first addr. of utility data
TPR_MCOF	EQU 1860H	;first addr. of model cof
TPR_INT_K	EQU 1870H	;first addr. of int_k data
TPR_COF1	EQU 18C0H	;first addr. of filter cof1 data
TPR_COF2	EQU 18D0H	;first addr. of filter cof2 data



```

MIANO1          IMSEG    EXTERNAL          ;

; ***** MAINI *****

MAINI:                                     ;entry of this program
      MOV        TR,314A53H                ;TR <= 314A53H(ID data)
      CALL       START_ID                  ;

      CALL       MINTLOW                   ;
      CALL       REQHLH                    ;

      CALL       RAMALCLR                  ;

      CALL       MINTHI                    ;

      MOV        LC,AM_UTIL-1              ;load utility data
      MOV        AR,TPR_UTIL               ;from ex_addr. of TPR_UTIL
      MOV        IX1,UTLITY                ;to Ram1 addr.
      CALL       BRRAM1                   ;

      MOV        LC,AM_MCOF-1              ;load model_cof data
      MOV        AR,TPR_MCOF               ;from ex_addr. of TPR_MCOF
      MOV        IX0,MODELCOF             ;to Ram0 addr.
      CALL       BRRAM0                   ;

      MOV        LC,AM_K-1                 ;load initial adaptive gain data
      MOV        AR,TPR_INT_K              ;from ex_addr. of TPR_INT_K
      MOV        IX1,SADR_K                ;to Ram1 addr.
      CALL       BRRAM1                   ;

      MOV        LC,AM_COF1-1              ;load C(s), D(s) coff data
      MOV        AR,TPR_COF1               ;from ex_addr. of TPR_COF1
      MOV        IX0,F_COF1                ;to Ram0 addr.
      CALL       BRRAM0                   ;

      MOV        LC,AM_COF2-1              ;load signal filter coff data
      MOV        AR,TPR_COF2               ;from ex_addr. of TPR_COF2
      MOV        IX0,SFO_COF               ;to ram0 addr.
      CALL       BRRAM0                   ;

      CALL       MINTLOW                   ;

      JMP        START_UP                  ;

; ***** DATA I/O *****

MAINIO:                                     ;entry of this program
      CALL       REQHLH                    ;

      CALL       MINTHI                    ;

      MOV        LC,AM_IN-1                ;load input data
      MOV        AR,TPR_DIN                ;from ex_addr. of TPR_DIN
      MOV        IX0,DINRO                 ;to Ram0 addr.
      CALL       BRRAM0                   ;

      MOV        LC,AM_CTRL-1              ;load control data
      MOV        AR,TPR_CTRL               ;from ex_addr. of TPR_CTRL
      MOV        IX1,CTRL                  ;to Ram1 addr.
      CALL       BRRAM1                   ;

```

```

MOV     LC,AM_OUT-1           ;write output data
MOV     AR,TPR_DOUT           ;to ex_addr. of TPR_DOUT
MOV     IX0,DOUTRO            ;from Ram0 addr.
CALL    BWRAM0                ;

MOV     LC,AM_STS-1           ;write STS data
MOV     AR,TPR_STS            ;to ex_addr. of TPR_STS
MOV     IX1,STS                ;from Ram1 addr.
CALL    BWRAM1                ;

CALL    MINTLOW               ;

RET                                     ;

```

```

;      +++++ START_UP +++++

```

```

START_UP:                        ;entry of this program
MOV     TR,315453H             ;TR <= 315453H (ID data)
MOV     IX1,STS0               ;IX1 <= addr. of STS0
MOV     [IX1],TR               ;STS0 <= TR

CALL    MAINIO                 ;

                                ;fixed data ==> floating data
MOV     LC,AM_IN-1             ;all data exchange
MOV     IX0,DINRO              ;IX0 <= first addr. of target
CALL    FLTFIX0                ;

                                ;A/D converter amp.
MOV     IX0,ADR_YAW_S           ;IX0 <= addr. of ADR_YAW_S
MOV     IX1,AMP_AD1            ;IX1 <= addr. of AMP_AD1
SPC     IX0                    ;
MOV     LKRO,[IX1]             ;M <= yaw_s*G1
MOV     WR2,M                  ;WR2 <= M
NORM    WR2,TR                 ;normalizing by TR
NORM    WR2,RD                 ;normalizing by RD
MOV     IX0,ADR_YAW_S           ;IX0 <= addr. yaw_s
MOV     [IX0],WR2              ;output for yaw_s

MOV     IX0,ADR_YOKO_S          ;IX0 <= first addr. of yoko_s
MOV     IX1,AMP_AD1            ;IX1 <= addr. of AMP_AD1
SPC     IX0                    ;
MOV     LKRO,[IX1]             ;M <= yoko_s*G1
MOV     WR2,M                  ;WR2 <= M
NORM    WR2,TR                 ;normalizing by TR
NORM    WR2,RD                 ;normalizing by RD
MOV     IX0,ADR_YOKO_S          ;IX0 <= addr. yoko_s
MOV     [IX0],WR2              ;output for yoko_s

MOV     IX0,ADR_YAW_R           ;IX0 <= addr. of ADR_YAW_R
MOV     IX1,AMP_AD3            ;IX1 <= addr. of AMP_AD3
SPC     IX0                    ;
MOV     LKRO,[IX1]             ;M <= yaw_r*G3
MOV     WR2,M                  ;WR2 <= M
NORM    WR2,TR                 ;normalizing by TR
NORM    WR2,RD                 ;normalizing by RD
MOV     IX0,ADR_YAW_R           ;IX0 <= addr. yaw_r
MOV     [IX0],WR2              ;output for yaw_r

```

```

MOV      IX0,ADR_YOKO_R      ;IX0 <== addr. of yoko_s
MOV      IX1,AMP_AD3         ;IX1 <== addr. of AMP_AD3
SPC      IX0                 ;
MOV      LKR0,[IX1]          ;M <== yoko_s*G3
MOV      WR2,M               ;WR2 <== M
NORM     WR2,TR              ;normarizing by TR
NORM     WR2,RD              ;normarizing by RD
MOV      IX0,ADR_YOKO_R      ;IX0 <== addr. of yoko_s
MOV      [IX0],WR2           ;output for yoko_r

ST_YD_YAW:                   ;filtering YAW_S
MOV      IX0,ADR_YAW_S       ;IX0 <== addr. of YAW_S
MOV      WR1,[IX0]           ;WR1 <== YAW_S
MOV      IX0,ADR_YD          ;IX0 <== I/O addr. of YD
MOV      IX1,SADR_YD         ;IX1 <== storing addr. of YD
MOV      [IX0],WR1           ;Ram0 <== YD sending
MOV      [IX1],WR1           ;Ram1 <== YD storing

ST_YD_YOKO:                  ;filtering YOKO_S
MOV      IX0,ADR_YOKO_S      ;IX0 <== addr. of yoko_s
MOV      WR1,[IX0]           ;WR1 <== yoko_s
MOV      IX0,ADR_YD_Y        ;IX0 <== I/O addr. of YD_Y
MOV      IX1,SADR_YD_Y       ;IX1 <== storing addr. of YD_Y
MOV      [IX0],WR1           ;Ram0 <== YD_Y sending
MOV      [IX1],WR1           ;Ram1 <== YD_Y storing

K_OUT_YAW:                   ;Ki val sending to DATAOUT(yaw)
MOV      LC,AM_K-1           ;amount of Ki(yaw)
MOV      IX0,ADR_KY1         ;IX0 <== first I/O addr. of Ki(yaw)
MOV      IX1,SADR_K          ;IX1 <== first addr. of source(yaw)
CALL     RMOVS01             ;

K_OUT_YOKO:                  ;Ki val sending to dataout(yoko)
MOV      LC,AM_K_Y-1         ;amount of Ki(yoko)
MOV      IX0,ADR_KY1_Y       ;IX0 <== first addr. of Ki(yoko)
MOV      IX1,SADR_K_Y        ;IX1 <== first addr. of source(yoko)
CALL     RMOVS01             ;

MOV      LC,AM_K-1           ;amount of sending data(yaw)
MOV      IX0,ADR_KY1         ;IX0 <== first addr. of Ki(yaw)
MOV      BP1,SCALE0          ;BP1 <== addr. of scale0 for yaw
CALL     MULX_R0             ;

MOV      LC,AM_K-1           ;amount of sending data(yoko)
MOV      IX0,ADR_KY1_Y       ;IX0 <== first addr. of Ki(yoko)
MOV      BP1,SCALE0          ;BP1 <== addr. of scale0 for yoko
CALL     MULX_R0             ;

MOV      LC,AM_OUT-1         ;fixed point <== floating point
MOV      IX0,DOUTRO          ;amount of all data
CALL     FIXFLT0             ;IX0 <== first addr. of target

MOV      IX1,CONTROL0        ;IX1 <== control0
MOV      WR1,000001H         ;chack data for control
AND      WR1,[IX1]           ;control0 = 0 or not
JNZ0     START_UP            ;if control0 =1 then go to start
                                ;else go dawn

```

```

; ***** MAIN CONTROL *****
MAIN:                                ;Main Adaptive Control entry
MOV      TR,315443H                 ;TR <== status data
MOV      IX1,STS0                   ;IX1 <== addr. of sts0
MOV      [IX1],TR                   ;sts0 <== TR

CALL     MAINIO                     ;

MOV      LC,AM_IN-1                 ;floating point <== fixed point
MOV      IX0,DINR0                  ;amount of all data
CALL     FLTFIX0                    ;IX0 <== first addr. of target
;

YAW_AMP:                             ;A/D converter amp. for yaw
MOV      IX0,ADR_YAW_S              ;IX0 <== addr. of yaw_s
MOV      IX1,AMP_AD1                ;IX1 <== addr. of amp_ad1
SPC      IX0                        ;
MOV      LKR0,[IX1]                 ;M <== yaw_s*G1
MOV      WR2,M                      ;WR2 <== M
NORM     WR2,TR                     ;normalizing by TR
NORM     WR2,RD                     ;normalizing by RD
MOV      IX0,ADR_YAW_S              ;IX0 <== yaw_s
MOV      [IX0],WR2                 ;output for yaw_s

YOKO_AMP:                             ;A/D converter amp. for yoko
MOV      IX0,ADR_YOKO_S             ;IX0 <== addr. of yoko_s
MOV      IX1,AMP_AD1                ;IX1 <== addr. of amp_ad1
SPC      IX0                        ;
MOV      LKR0,[IX1]                 ;M <== yoko_s*G1
MOV      WR2,M                      ;WR2 <== M
NORM     WR2,TR                     ;normarizing by TR
NORM     WR2,RD                     ;normarizing by RD
MOV      IX0,ADR_YOKO_S             ;IX0 <== yoko_s
MOV      [IX0],WR2                 ;output for yoko_s

YR_YAW:                               ;model output YR_YAW
MOV      IX0,ADR_YAW_R              ;IX0 <== addr. of yaw_r
MOV      WR1,[IX0]                 ;WR1 <== input
MOV      IX0,ADR_M_COFF1            ;IX0 <== addr. of model coff
MOV      IX1,SADR_M_VAL1            ;IX1 <== addr. of model val
MOV      BP1,ADR_DT                 ;BP1 <== addr. of dt
CALL     E_FILTER                   ;
MOV      IX0,ADR_YR                 ;IX0 <== I/O addr. of YR
MOV      [IX0],WR2                 ;output for YR
MOV      IX1,SADR_YR                ;IX1 <== storing addr. of YR
MOV      [IX1],WR2                 ;storing YR

YR_YOKO:                             ;model output for YR_YOKO
MOV      IX0,ADR_YOKO_R             ;IX0 <== addr. of yoko_s
MOV      WR1,[IX0]                 ;WR1 <== input
MOV      IX0,ADR_M_COFF1            ;IX0 <== addr. of model coff
MOV      IX1,SADR_M_VAL2            ;IX1 <== addr. of model val
MOV      BP1,ADR_DT                 ;BP1 <== addr. of dt
CALL     E_FILTER                   ;
MOV      IX0,ADR_YR_Y               ;IX0 <== I/O addr. of YR_Y
MOV      [IX0],WR2                 ;output for YR_Y
MOV      IX1,SADR_YR_Y              ;IX1 <== storing addr. of YR_Y
MOV      [IX1],WR2                 ;storing YR_Y

```

YD_YAW:		;filtering of plant output(yaw)
MOV	IX0,ADR_YAW_S	;IX0 <== ADR_YAW_S
MOV	WR1,[IX0]	;WR1 <== ADR_YAW_S
MOV	IX0,ADR_YD	;IX0 <== I/O addr. of YD
MOV	IX1,SADR_YD	;IX1 <== storing addr. of YD
MOV	[IX0],WR1	;ADR_YD <== WR1
MOV	[IX1],WR1	;SADR_YD <== WR1
YD_YOKO:		;filtering of plant output(yoko)
MOV	IX0,ADR_YOKO_S	;IX0 <== addr. of yoko_s
MOV	WR1,[IX0]	;WR1 <== yoko_s
MOV	IX0,ADR_YD_Y	;IX0 <== I/O addr. of YD_Y
MOV	IX1,SADR_YD_Y	;IX1 <== storing addr. of YD_Y
MOV	[IX0],WR1	;ADR_YD_Y <== WR1
MOV	[IX1],WR1	;SADR_YD_Y <== WR1
ZY_YAW:		;cal of regresser KY(yaw)
MOV	IX1,SADR_YD	;IX1 <== storing addr. of YD
MOV	WR1,[IX1]	;WR1 <== YD
MOV	IX0,SADR_ZY	;IX0 <== storing addr. of ZY1
MOV	[IX0],WR1	;Ram0 <== ZY1
ZY_YOKO:		;call of regreeser KY_Y(yoko)
MOV	IX1,SADR_YD_Y	;IX1 <== storing addr. of YD_Y
MOV	WR1,[IX1]	;WR1 <== YD_Y
MOV	IX0,SADR_ZY_Y	;IX0 <== storing addr. of ZY_Y
MOV	[IX0],WR1	;Ram0 <== ZY1_Y
ZR_YAW:		;cal of regresser KR(yaw)
MOV	IX0,ADR_YAW_R	;IX0 <== addr. of yaw_r
MOV	WR1,[IX0]	;WR1 <== yaw_r
NEG	WR1	;ZR <== -yaw_r
MOV	IX0,SADR_ZR	;IX0 <== storing addr. of ZR1
MOV	[IX0],WR1	;Ram0 <== ZR1
ZR_YOKO:		;cal of regreesor KR_Y(yoko)
MOV	IX0,ADR_YOKO_R	;IX0 <== addr. of yoko_s
MOV	WR1,[IX0]	;WR1 <== yoko_r
NEG	WR1	;ZR <== yoko_r
MOV	IX0,SADR_ZR_Y	;IX0 <== storing addr. of ZR_Y
MOV	[IX0],WR1	;Ram0 <== ZR_Y
E_YAW:		;cal of error E
MOV	IX1,SADR_YD	;IX1 <== storing addr. of YD
MOV	WR1,[IX1]	;WR1 <== YD
MOV	IX1,SADR_YR	;IX1 <== storing addr. of YR
MOV	WR2,[IX1]	;WR2 <== YR
SUBF	WR1,WR2	;WR1 <== WR1(YD)-WR2(YR)
MOV	IX0,ADR_E	;IX0 <== I/O addr. of E
MOV	IX1,SADR_E	;IX1 <== storing addr. of E
MOV	[IX0],WR1	;ADR_E <== E
MOV	[IX1],WR1	;Ram1 <== E

```

E_YOKO:                                ;cal of error E_Y
MOV IX1,SADR_YD_Y                      ;IX1 <== storing addr. of YD_Y
MOV WR1,[IX1]                          ;WR1 <== YD_Y
MOV IX1,SADR_YR_Y                      ;IX1 <== storing addr. of YR_Y
MOV WR2,[IX1]                          ;WR2 <== YR_Y
SUBF WR1,WR2                          ;WR1 <== WR1(YD_Y) - WR2(YR_Y)
MOV IX0,ADR_E_Y                        ;IX0 <== I/O addr. of E_Y
MOV IX1,SADR_E_Y                      ;IX1 <== storing addr. of E_Y
MOV [IX0],WR1                         ;ADR_E_Y <== E_Y
MOV [IX1],WR1                         ;Ram1 <== E_Y

ED_YAW:                                ;cal of ED
MOV IX1,SADR_E                        ;IX1 <== storing addr. of E
MOV WR7,[IX1]                         ;push to WR7
MOV IX1,SADR_UP                      ;IX1 <== storing addr. of UP
MOV WR1,[IX1]                        ;WR1 <== SADR_UP
MOV IX0,DCOMPCOF                     ;IX0 <== first addr. of D(s) coff
MOV IX1,DCOMPVAL1                   ;IX1 <== first addr. of D1(s) val
MOV BP1,ADR_DT                       ;
CALL E_FILTER                       ;
MOV WR1,WR7                          ;WR1 <== E
ADDF WR1,WR2                         ;WR1 <== WR1(E)+WR2(D(s)*UP)
MOV IX0,ADR_ED                      ;IX0 <== I/O addr. of ED
MOV IX1,SADR_ED                     ;IX1 <== storing addr. of ED
MOV [IX0],WR1                       ;ADR_ED <== ED
MOV [IX1],WR1                       ;SADR_ED <== ED

ED_YOKO:                              ;cal of E_Y
MOV IX1,SADR_E_Y                    ;IX1 <== storing addr. of E_Y
MOV WR7,[IX1]                      ;push to WR7
MOV IX1,SADR_UP_Y                  ;IX1 <== storing addr. of UP_Y
MOV WR1,[IX1]                      ;WR1 <== UP_Y
MOV IX0,DCOMPCOF                   ;IX0 <== first addr. of D(s) coff
MOV IX1,DCOMPVAL2                 ;IX1 <== first addr. of D2(s) val
MOV BP1,ADR_DT                     ;
CALL E_FILTER                     ;
MOV WR1,WR7                        ;WR1 <== WR7
ADDF WR1,WR2                       ;WR1 <== WR1(E_Y)+WR2(D(s)*UP)
MOV IX0,ADR_ED_Y                   ;IX0 <== I/O addr. of ED_Y
MOV IX1,SADR_ED_Y                 ;IX1 <== storing addr. of ED_Y
MOV [IX0],WR1                     ;ADR_ED_Y <== ED_Y
MOV [IX1],WR1                     ;SADR_ED_Y <== ED_Y

ADAPTIVE_YAW:                        ;entry of AD_ALGO
MOV IX0,ADR_ED                     ;IX0 <== first addr. of ED
MOV WR1,[IX0]                     ;WR1 <== ED
MOV LC,AM_K-1                     ;amount of Ki,Zi
MOV IX0,SADR_Z                     ;IX0 <== first addr. of regresser Zi
MOV IX1,SADR_K                     ;IX1 <== first addr. of gain Ki
MOV BP1,ADR_GDT                   ;
CALL AD_ALGO                       ;

MOV LC,AM_K-1                     ;amount of Ki
MOV IX0,ADR_KY1                   ;IX0 <== first addr. of Ki
MOV IX1,SADR_K                     ;IX1 <== first addr. of Ki(souce)
CALL RMOVS01                       ;

```

```

MOV      LC,AM_K-1          ;entry of AD_CONTL
MOV      IX0,SADR_Z         ;amount of Ki,Zi
MOV      IX1,SADR_K         ;IX0 <= SADR_Z
                                ;IX1 <= SADR_K

CALL     AD_CONTL          ;

NEG      WR1                ;WR1 <= -WR1

MOV      IX0,ADR_UP         ;IX0 <= destination addr.
MOV      [IX0],WR1          ;IX0 <= WR1(Zi*Ki)
MOV      IX1,SADR_UP        ;IX1 <= storing addr. of UP
MOV      [IX1],WR1          ;IX1 <= UP

ADAPTIVE_YOKO:              ;entry of AD_ALGO
MOV      IX0,ADR_ED_Y       ;ix0 <= addr. of ED_Y
MOV      WR1,[IX0]          ;wr1 <= ED_Y
MOV      LC,AM_K_Y-1        ;amount of K_Y
MOV      IX0,SADR_Z_Y       ;IX0 <= storing addr. of Z_Y
MOV      IX1,SADR_K_Y       ;IX1 <= storing addr. of Z_Y
MOV      BP1,ADR_DT         ;

CALL     AD_ALGO            ;

MOV      LC,AM_K_Y-1        ;amount of K_Y
MOV      IX0,ADR_KY1_Y      ;IX0 <= addr. of KY1_Y
MOV      IX1,SADR_K_Y       ;IX1 <= addr. of KY1_Y(source)
CALL     RMOVS01            ;

MOV      LC,AM_K_Y-1        ;amount of K_Y
MOV      IX0,SADR_Z_Y       ;IX0 <= addr. of Z_Y
MOV      IX1,SADR_K_Y       ;IX1 <= addr. of K_Y

CALL     AD_CONTL          ;

NEG      WR1                ;WR1 <= -WR1

MOV      IX0,ADR_UP_Y       ;IX0 <= addr. of UP_Y
MOV      [IX0],WR1          ;[IX0] <= UP_Y
MOV      IX1,SADR_UP_Y      ;IX1 <= storing addr. of UP_Y
MOV      [IX1],WR1          ;[IX1] <= UP_Y

```

```
CLS_STS1:                                ;clear stsl
      CLR      WR2                        ;
      MOV      IX1,STS1                  ;IX1 <== stsl
      MOV      [IX1],WR2                 ;Ram1 <== 80_000000H(WR2)

K_YAW:                                    ;Ki val scaling for data out(yaw)
      MOV      LC,AM_K-1                 ;amount of Ki
      MOV      IX0,ADR_KY1              ;IX0 <== first addr. of K
      MOV      BP1,SCALE0               ;
      CALL     MULX_R0                  ;

K_YOKO:                                    ;Ki val scaling for data out(yoko)
      MOV      LC,AM_K_Y-1              ;amount of Ki
      MOV      IX0,ADR_KY1_Y           ;IX0 <== first addr. of K
      MOV      BP1,SCALE0               ;
      CALL     MULX_R0                  ;

      MOV      LC,AM_OUT-1              ;amount of dataout
      MOV      IX0,DOUTRO               ;IX0 <== dataout
      CALL     FIXFLT0                  ;

      JMP      MAIN                      ;

END
```



```

/* --- Test program for simu --- */

#include <stdio.h>
#include <graph.h>
#include <math.h>
#include <dsp.h>
#include <m_start.h>
#include <beep.h>

char    id_card[5];
float   t=0.0;
float   total_t=0.0;
int     count=0;
int     bcount, scount, limit;
float   gscal_x;
float   dt=0.02;
float   yaw_r, yoko_r;
float   cal_time;
float   up, up_y, yd, yd_y, yr, yr_y, e, e_y;
float   kyl, krl, kyl_y, krl_y;
float   up_bs, up_ss;
float   yaw_ar, yaw_sr, yawr;
float   yoko_ar, yoko_sr, yokor;
float   yaw_a, yaw_s, yaw;
float   yoko_a, yoko_s, yoko;
double  gyaw_s, gyaw, gyaw_r;
double  gyoko_s, gyoko_r;

unsigned short  status1, status2, status3;

long   ad[8], da[16];
long   control[5], status[4];

extern long   buffer_ctrl[1], buffer_sts[4];

main()
{
    char        hit;
    short       yon;
    short       error0, error1;

    void        b_line();
    void        display_graph();
    void        display_title();
    void        display_time();
    short       data_load();
    unsigned short  key_interruption(void);
    unsigned short  service(void);

/* --- Make data file ---*/

```

```

FILE      *fptri,*fptrd;
char      *condition,*data;

erase();
printf(" データを保存するドライブとファイル名を入力して下さい ¥n");
scanf("%s",data);

/* -----*/

start:
    _setvideomode(_98RESS8COLOR);
    _settextrows(25);

    _clearscreen(_GCLEARSCREEN);
    _clearscreen(_GCLEARTEXT);
    _displaycursor(_GCURSORON);

    error0=dsp_start(id_card);          /* DSP start */

    data_input();                      /* Data Input for SIMulation */

    mintlc();                          /* Initial data load */

    error1=data_load();

    reqhlh();

    control[0]=buffer_ctrl[0];         /* Inital DSP control data */

    erase();

/* --- Make condition file --- */

    printf("条件を保存するドライブとファイル名を入力して下さい ¥n");
    scanf("%s",condition);
    fptri = fopen(condition,"w");
    fprintf(fptri,"yaw_r    yoko_r    dt¥n");
    fprintf(fptri,"%f %f %f¥n",yaw_r, yoko_r,dt);
    fclose(fptri);

/* ----- */

ench:
    erase();                          /* clr for display */
    b_line();                          /* making b_line */

    fptrd = fopen(data,"w");           /* data file open */

    limit = (10/dt);                   /* security time */

    do{
        count+=1;
        if(23000 < count)              /* for mess of disk change */
        {
            warning();
        }

        t+=dt;
        fprintf(fptrd,"%d %f %f %f %f %f¥n",count,yd,yd_y,kyl,kyl_y,krl_y);
        swit_b(up_y);                  /* for b_security */
        swit_s(up);                    /* for s_security */
        real_plant(up_bs, up_ss);       /* for real plant */

        display_time(t, total_t);
        display_graph();
    }

```

```

        at(2,20) ;printf("%f",yr);          /* modeloutput of yaw */
        at(3,20) ;printf("%f",yd);          /* realoutput of yaw */
        at(5,20) ;printf("%f",yr_y);        /* modeloutput of yoko */
        at(6,20) ;printf("%f",yd_y);        /* realoutput of yoko */
        at(10,30);printf("%f",up_bs);        /* output of B_T input */
        at(11,30);printf("%f",up_ss);        /* output of S_T input */
        at(3,50) ;printf("%f",yawr);        /* output of total_Yaw */

        edsp_adc(0x7, ad);
        edsp_dac(0x3, da);

        control[0]=0;

        mintlc();
        dsp_write(&ad[0], 0x1800, 4);
        dsp_read(0x1810, &da[0], 14);
        dsp_write(control, 0x1830, 1);
        dsp_read(0x1835, status, 4);
        reqhlh();

        status1=status[1];

        if (kbhit()){
            fclose(fptra);
            switch(service()){
                case 1:    goto start;
                case 2:    break;
                case 3:    goto end;
            }
        }

if(t > cal_time-dt)
    enchou();
    b_line();

    }while(t < cal_time);

serv:
    switch(service()){
        case 1:    goto start;
        case 2:    goto ench;
    }
end:
    resetl();
    _clearscreen(_GCLEARSCREEN);
    _displaycursor(_GCURSORON);
    _setvideomode(_DEFAULTMODE);
    _exit();
}

/* --- security of b_thruster ----- */
swit_b(up_b)

    float    up_b;

{
    if( (0.0005 > up_bs) && (-0.0005 < up_bs) )
    {
        bcount +=1;
        if( bcount == limit)
        {
            bcount =0;
            up_bs = up_b;
        }
        else

```

```

        up_bs = 0;
    }
    else
    {
        up_bs = up_b;
    }
}

/* --- security of s_thruster ----- */
swit_s(up_s)
    float    up_s;

{
    if( (0.000005 > up_ss) && (-0.000005 < up_ss))
    {
        scount +=1;
        if (scount == limit)
        {
            scount =0;
            up_ss = up_s;
        }
        else
        {
            up_ss = 0;
        }
    }
    else
    {
        up_ss = up_s;
    }
}

/* --- For simu. plant --- */
real_plant(fb, fs)
    float    fb, fs;
{
    if(yaw_sr>=0)
        yaw_ar=(fs-2190.57*yaw_sr*yaw_sr)/3165.65;
    else
        yaw_ar=(fs+2190.57*yaw_sr*yaw_sr)/3165.65;

    yaw_sr+=yaw_ar*dt;
    yawr+=yaw_sr*dt;

    yaw_s = yaw_sr*100; yaw = yawr;
}

/* --- Input for DSP --- */
edsp_adc(channel, f_pointer)
    short    channel;
    long     f_pointer;
{
    unsigned long    fix_float();

    ad[0]=fix_float(yaw_s);
    ad[1]=fix_float(yaw_r);
    ad[2]=fix_float(yaw_ko_s);

```

```

        ad[3]=fix_float(yoko_r);
    }

/* --- Out put form DSP --- */
edsp_dac(channel, f_pointer)

    short    channel;
    long     f_pointer;

{
    float    float_fix(unsigned long);

    up       =float_fix(da[0]);
    up_y     =float_fix(da[1]);
    e        =float_fix(da[2]);
    e_y      =float_fix(da[3]);
    yd       =float_fix(da[4]);
    yd_y     =float_fix(da[5]);
    yr       =float_fix(da[6]);
    yr_y     =float_fix(da[7]);
    kyl      =float_fix(da[10]);
    krl      =float_fix(da[11]);
    kyl_y    =float_fix(da[12]);
    krl_y    =float_fix(da[13]);
}

unsigned long  fix_float(flvalue)

    float    flvalue;
{
    unsigned long  result, shiftdata;

    if (flvalue > 10.0)
        flvalue=10.0;
    if (flvalue < -10.0)
        flvalue=-10.0;

    shiftdata=flvalue*214748364;
    result=((shiftdata >> 8) & 0x00ffffff);

    return(result);
}

float    float_fix(fxvalue)

    unsigned long  fxvalue;
{
    float    result;
    long     shiftdata;

    shiftdata=((fxvalue & 0x00ffffff) << 8);
    result=shiftdata;
    result=result*4.65661289E-09;

    return(result);
}

/* --- For display --- */

void    display_time(time, total_time)

    float    time, total_time;

```

```

        at(24,65);printf("%#.3f ", time+total_time);
    }

void    b_line()
{
    _displaycursor(_GCURSOROFF);
    at(0,0);printf(" Pause => ESC ");

    _moveto(0,100);_lineto(650,100);        _moveto(0,15);_lineto(0,450);
    _moveto(0,200);_lineto(650,200);
    _moveto(0,250);_lineto(650,250);
    _moveto(0,300);_lineto(650,300);

    at(2,10);printf("Yr_yaw  = ");
    at(3,10);printf("Y_yaw   = ");
    at(5,10);printf("Yr_yoko = ");
    at(6,10);printf("Y_yoko  = ");

    at(10,10);printf("バウスラスタ");
    at(11,10);printf("スターンスラスタ");
    at(3,30);printf("現在の回頭角は, ");
    at(24,73);printf("sec");
}

/* --- For dsplay graph --- */
void    display_graph()
{
    unsigned short time;
    unsigned short g_yd, g_yr,g_e,g_ydy, g_yry,g_ey;
    unsigned short g_kyl, g_krl, g_kyly, g_krly;

    time=t*gscale_x-15;

    g_yd =-yd*50+100;        /* yaw output of real */
    g_yr =-yr*50+100;        /* yaw output of model*/
    g_e  =-e*50+100;        /* yaw output of error*/
    pset(time, g_yd, 6); pset(time, g_yr, 2); pset(time, g_e, 3); /* yaw */

    g_ydy=-yd_y*50+200;     /* yoko output of real */
    g_yry=-yr_y*50+200;     /* yoko output of model*/
    g_ey =-e_y*50+200;      /* yoko output of error*/
    pset(time, g_ydy,6); pset(time, g_yry,2); pset(time,g_ey, 3); /* yoko*/

    g_kyl=-kyl*150+250;     /* gain output of yaw */
    g_krl=-krl*150+250;     /* gain output of yaw */
    pset(time, g_kyl, 5); pset(time, g_krl, 7); /* yaw */

    g_kyly=-kyl_y*150+300;  /* gain output of yoko */
    g_krly=-krl_y*150+300;  /* gain output of yoko */
    pset(time, g_kyl, 5); pset(time, g_krly, 7); /* yoko */
}

/* --- For interruption --- */
unsigned short service()
{
    unsigned short yon;
    unsigned short result;

what:

```

```

_displaycursor(_G_CURSORON);
at(24, 0);printf(" Again(1), Cont(2), or END(3) ? ");
scanf("%d", &yon);

switch(yon){
    case 1:  result=1;
             break;
    case 2:  if (t >= cal_time)
             enchou();
             result=2;
             break;
    case 3:  /*beep(0);*/
             reset1(); _clearscreen(_GCLEARTEXT);
             _clearscreen(_GCLEARSCREEN); _setvideomode(_DEFAULTMODE);
             _exit();

    default: goto what;
}

out:
_displaycursor(_G_CURSOROFF);
return(result);
}

enchou()
{
    total_t=total_t+t;
    t=0.0;
    _clearscreen(_GCLEARSCREEN);
}

warning()
{
    at(15,25);printf("ディスクの交換を考えて   !!!");
    beep(1);
}

/* --- End of this program --- */

```